

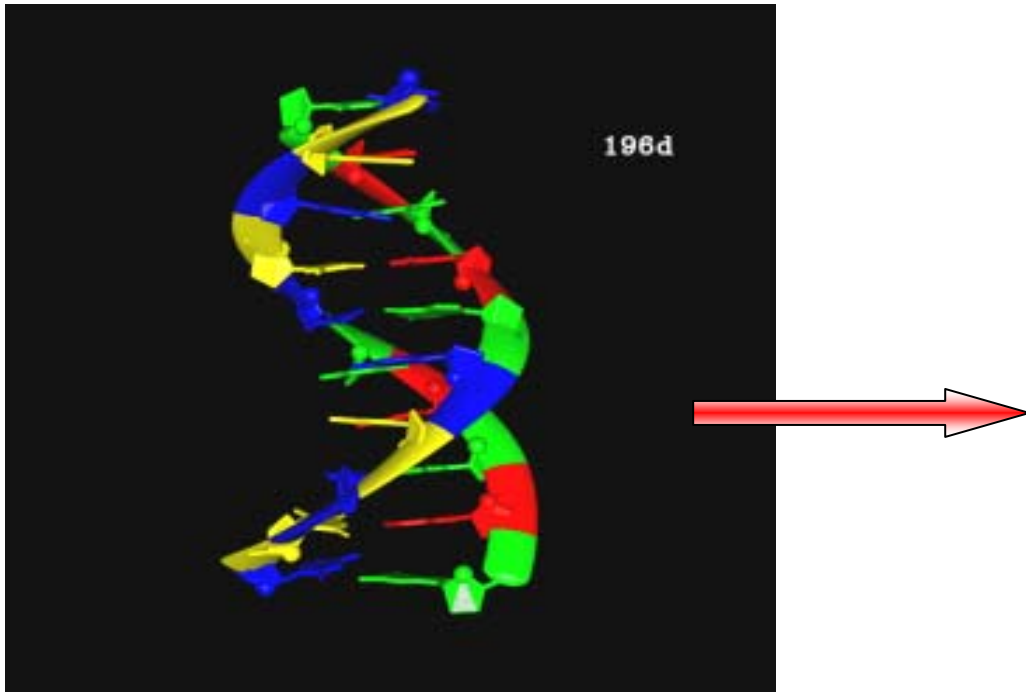
Séquences et structures aléatoires pour l'analyse des génomes



Alain Denise
Bioinformatique
LRI Orsay
UMR CNRS 8623
Université Paris-Sud 11

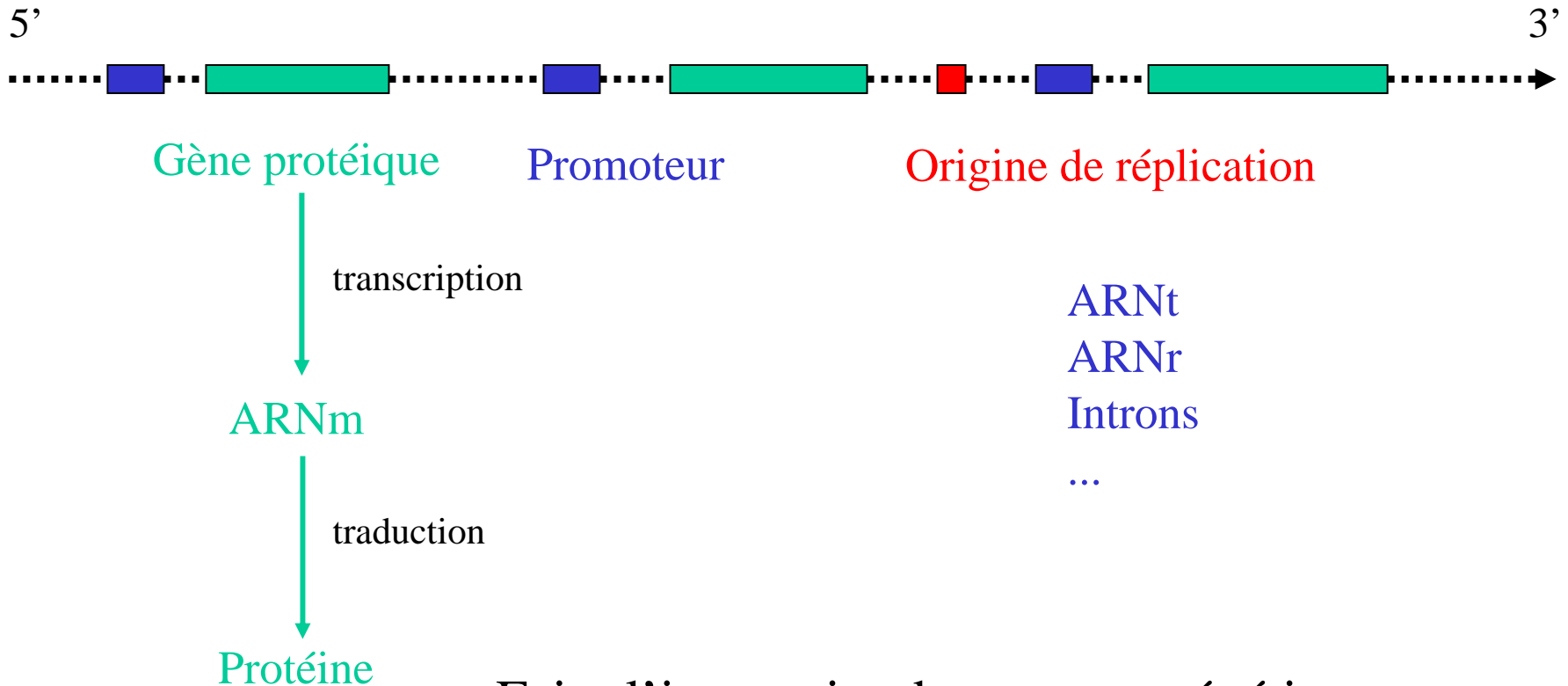


Structure de l'ADN



G
T
A
C
C
C
A
T
C
A
T
C
A
G
T
A
G
T
A
G
T
5'
3'

Analyse d'un génome



- Faire l'inventaire du contenu génétique.
- Puis comprendre son organisation, les relations entre structure et fonction de l'information, les processus qui permettent son expression.

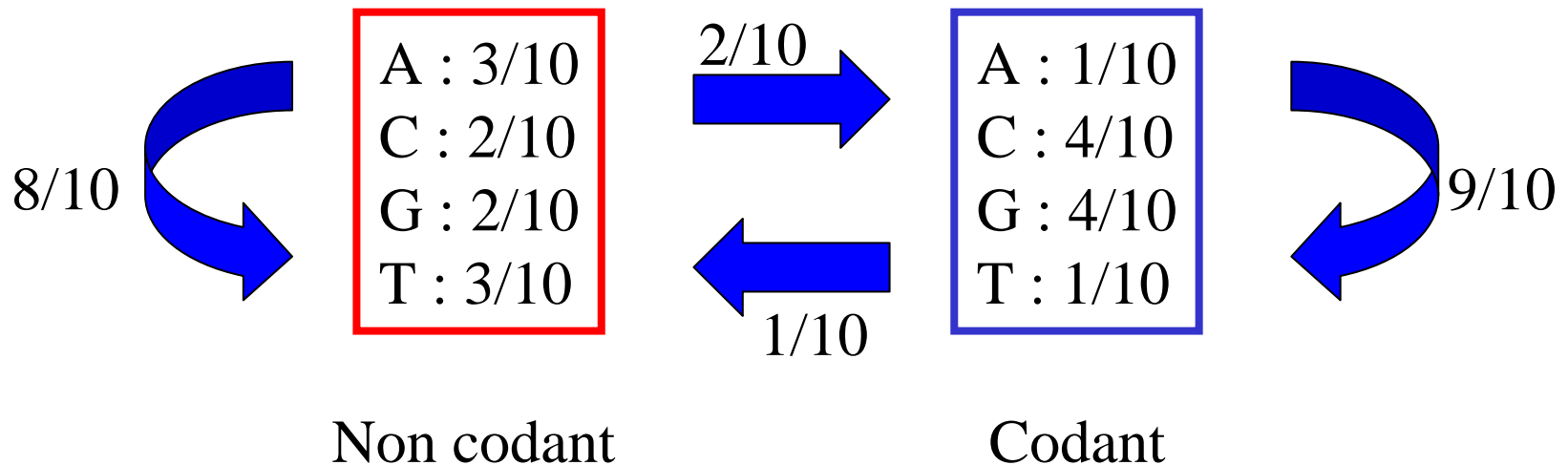
CACCAACAATTGCAAAACTCCAAGCCGTCCACAAAAGAAGGACGGATTCTCACAGTTCATGCCATCTGCAACTACGAAGAACCCATATGCCAGTAAC
CGACCGACTGGTTGTAATTTACAAAAGAGAGACAATTAAGAAAAGAAACAAGCGCCAGGCTTCCGTATCCCAGTTTCATCTCACTTCTGGCAGC
ATTGTAATAACTTCATGATAATAACTAAACTATATAAGTAGTGTCTCATCGTAAATATACATTAGACAGATTCTGTATTTCTCCGGCAATTT
TAACCTTTCTGTTAGGCACATGACACTTGCTTATTGACAGCCAGTAAAGATGTGCCATATATTGCCCTTACGCTCTGCCAGTATTAG
TGGGAAAAAAACTGAAAAAAACTCGCAGGACTACTAATAATCAGTGATATTCTTCACTCTTCAAAAGTTGCTAAAACACACAATCG
AATGAGCCTCTGAGCAGTATAAATTGACTTCAAAGCACTATGCATGAAAAGCCTTACATTAGTTCAAGGTTATGCTATTACTGTACTTA
TTTCTGCTATTGTTAGTGGCTCCCCACATTGACGTATTTCACGTGATGCCCTCACTGCCGAAGGCCACACATTGCCGAAAAATTGGAATGC
ACTCATTGATAGTAAACTAAGTCATGTTAACCGTTGGATTGGCACACACCCACAAATACACATTACATATATATATTCAAACACAGCTGC
GTCCAATAGATGAGCTCCGCTCGTTACAACCTACCTGCTATCTGTTACGGATATTCTGCTTTAATAACAAAAGTAACCTAGAACAGTC
AGTCTCGATAATTTTTAGTCACAGGGTCCGCTAAAGTTCTTTATTGGAATAATAGAAAAGAAAAGACAGTAGTATAAAAGGAATGTGC
CATACTTAAATCGAAAACGCTCCAAGAGCTGGACATTGAGGAGATTAAGGAAACTAACCCATTGCTCAAACACTAGTTCAAGGGCAGAGGATTGTTCAAG
TTCCGGAACTAGTGCTGAGTCTGGCGTGGTCATAAAATAATTCCCTATTGCTTATAAGACGTGGGTACACTGAATGAAGCTGGTATAATGTTCTGGT
AATTGTCATGCCCTGACTGGTCCCGAGATGTTGCTGACTGGTGGGCCCTTCTGGTAACGACTTAGCATTGACCCATCAAGGTTTTTATCATA
TGTTAAACTCTATGGGCTCTCCATATGGGTCTTTGCCATTAACGATAATGAGGAGACGGCGTTAGATATGGACCGAATTCCATTATGTACTG
TGCGCGATGACGTTAGAGCTCACAGAATTGTTCTGGATTCTGGAGTAAAGTCATAGCCTGTGTTATTGGTGGCTCTATGGGGGGATGCTGAGGTT
GGAATGGGCTGCCATGTATGGTAAGGAATATGTGAAGAATATGGTGCCTGGCAGACATCAGCAAGACATTCTGCCCTGGTCATATGTGGCTGAGGCT
CAAAGACAATCGATTTACTCAGATCCAACTACTTGGACGGTACTATCCGGTAGAGGAGCAACCTGTGGCCGACTATGGCTGCACGTATGTCTGCAT
TGTTGACGTACAGGACAAGAAACAGTTCGAGAACAAATTCTCCAGAACAGATCTCCCTCAATAGCACAACAAACAAAAGCTCAAAGGGAGGAGACACGCA
ACCACACTACTGTCAGCGAACACTCCCTACAAATCCACAATGATGGGTATAAAACAAAAGCCAGCACTGCCATCGCTGGCATTCTGGCAAAAGGTCAA
AGCGTGGTGTCCACCGCATTTCTGGATTCTGAATTCTCAACATCGATGACTTCGGTAAGTTCTGTAACGGGTGAAGTGAAGGACATAAGCCTG
CCGAGACGTATTTCTGACAAAGTTACTTGAGGTACCAAGGGACAAAGTTCAATAGGTTGACGCCAATTGTTACATTGCCATCACACGTAAC
GGATACGCACGATTGGCAAGAGACAGAGTAGATGACATCACTGAGGTCCTTCTACCATCCAAACACATCCCTGATCATGGTATCCAATCTGATGGA
CTGTTCACATATTCTGACAAAGAATTGGCTGAGCACATACCGAAGTCGAATTAGAAAAATTGAATCTCCGAAGCCACGATGCCCTTCTATTGGA
GTTTAAGCTGATAACAAACTGATAGTACAATTAAAACCAACTGCAAGGCCATTACCGATGCCCTCAAGAGCTGGGGAGGCGACGTTGGTAAC
GATGAAACGAAGACGTCTGCTTGGTAGGGCGAAGAAGTTACCAACTGGTAGGGATAGATACCACACATACCTCAGGCATAACATAGATAAACAGTA
CATGTATATCTATATCTATATTATAGACAAACAGCATTAAACTATAACAAAGTTCTAGTAACACTAACGGTAGTTAATTCTCTTTTGT
CCTCGTTGGAAAAACGAAAGAAGAATGAAAAAAAAACAAAAGAGTAATAGCTAGTGTGTTAGAGCTTCCACATTCTGACCGCACTGTAGAC
AGCCACTCTTGACATTGCCACTCGACATTACATGAACGACTGTTCTCCCTGCGCTTAGCTTACTTGAAGGAAATGCCCTTTATGTA
AGGGACAAGTAACCTTGTAGATC...

Phase d'inventaire

- 1. Alignements.** Aligner sur la séquence
 - des ARN messagers de l'organisme en question
 - des séquences codantes d'autres organismes.

- 2. Segmentation** (approche « *ab initio* ») : modèles de Markov cachés, ...

Modèle de Markov caché : principes



Trouver la segmentation la plus probable d'une séquence :

$$\Pr(\text{ATTGAC}) = 3/10 \times 2/10 \times 1/10 \times 9/10 \times 1/10 \times \dots$$

$$\Pr(\text{ATTGAC}) = 3/10 \times 8/10 \times 3/10 \times 2/10 \times 1/10 \times \dots$$

Raffinements : fréquences d'oligonucléotides, phases du codant, caractères syntaxiques (Start, Stop, ...)

Phase d'inventaire : problèmes

1. Alignements.

- on ne détecte que des gènes déjà connus par ailleurs, ou des ARN fortement exprimés.
- problèmes d'ordre technique : contamination par des ARN pré-messagers...
- Imprécision des algorithmes d'alignement.

2. Segmentation. Dans *A. thaliana*, moins d'un gène sur deux est correctement reconnu ; deux gènes prédits sur trois sont faux. [Reese et al. 2000]

On prédit mal, et on ne prédit que ce que l'on connaît déjà.

Paradigme : comparaison biologie/aléatoire

Des différences observées entre séquences biologiques et séquences aléatoires, on peut déduire des faits biologiques.

Exemple : si un motif apparaît avec des fréquences très différentes dans une séquence réelle et dans une séquence aléatoire, alors il a probablement une fonctionnalité biologique.

Paradigm : biological vs. random sequences

Searching for overrepresented motifs

Biological sequence :

```
TTCATTATCTCCATTGGCTGGTGGGCAAGGACTTGAGCTATGCCCTTC...
GCATAAAAGTTATTCAAAACTGTCAGGGGTTCGGTTGCCGCTGGTGGAAC...
AGGCTGGTGGACGCCTACGTTATTTGCTGGTGGACTGGAAATCATCTAG...
TCCAACGAAATAGCTGGTGGTCTACACTCATATCGTTATTAACAAACGAA...
AGAAAACTAATGGGTGTCACAGCTGGTGGGCTCGTATTTGTAGGAGGTCA...
```

Random sequence :

```
ATATATATATTTATCTTGCAACTCGGAGAATTCTATTAATATATGAACGA...
ACGTAGATGACAACAATTAGCATGTGGATTGTAAGGTAAGTTCTTGTG...
CGTTGGTTGGTCATCGATGCAATGAATGAGTCGTTAAAATAAGACTCGA...
TTGTCTCTCAAGTTTTGCATTACCATTCTAAGCTGGTGGATATAGG...
GTTTACAAGTTAACCTTTGTCACTCGTCACCTTATGTGTGGCTTAA...
```

→ *Chi motif in E. coli.*

Extraction de promoteurs

Régions en amont de 10 gènes de *S. cerevisiae*. [J. van Helden]

```
>MET1      MET1 upstream sequence, from -702 to -1, size 702
TTTGACCCA.....TCTCTTCTAGAAATGCCATTATGCACGTGACATTACAAATTGTGGTAAAAAAGG.....TTCAAAAGA
>MET2      MET2 upstream sequence, from -800 to -1, size 800
GGGCACGATT.....GACTACTAATAATCACGTGATAT.....CCCCACATTGACGTATTTCACGTGATGCGC.....AGCGCCACA
>MET3      MET3 upstream sequence, from -800 to -1, size 800
AAGAGTACAA.....AAAAAAAGGTCACGTGACCAGAAAAGTCACGTGTAATTTGTAACTCACCGCATTCT.....ATAATTAAC
>MET6      MET6 upstream sequence, from -222 to -1, size 222
GGGAAGCTAGCTAGTTTCCCACTGCGAAAGAAAAAAAGGAAAGAAAAAAATTCTATATAAGTGA.....TTCAATATT
>MET14     MET14 upstream sequence, from -800 to -1, size 800
TATTTTTTA.....AGACCGTGCCACTAATTTCACGTGATCAATATATTACAAGCCACCTCAAAAAATG.....AATTATTC
>ZWF1      MET19 upstream sequence, from -558 to -1, size 558
GTAAGGTGTAGTTGCACCCGTGTACATAAGCGTGAATCACCACAAACTGTGTGTATCAAGTACAT.....TAAATAATA
>MET17     MET25 upstream sequence, from -800 to -1, size 800
TATACTAGAA.....GCAAATGGCACGTGAAGCTGTCGATATTGGGAACTGTGGTGGTTGGCAAATGACT.....ATCCATACA
>MET30     MET30 upstream sequence, from -800 to -1, size 800
CCATTGCTGC.....GTGTGTGGTACAATGTGTGTTTAATGTAGAAATGAGGTTGTAGCACGTGATCG.....GAGAAGGGC
>MUP3      MUP3 upstream sequence, from -61 to -1, size 61
TCTGTTGTAGTCTAACGTTGCTGAGGGCAACGTAGACGTACAGTGCTAAAATAAGTAAAAA
>SAM1      SAM1 upstream sequence, from -548 to -1, size 548
AATATATATTTCTATTACTAACGTACTCGGATGGGTACCGAAAGTGGCAGATGGCAGTGTACTCAA.....CCTACTAGT
```

La probabilité d'une telle représentation de CACGTG dans des séquences aléatoires serait environ égale à 10^{-9}

Paradigm : biological vs. random sequences

Assessing significance of alignment scores

HBA_HUMAN	GSAQVKGHGKKVADALTNAVAHVDDMPNALSALSDLHAHKL	Score
HBB_HUMAN	GNPKVKAHGKKVLGAFSDGLAHLDNLKGTFATLSELHCDKL	130

HBA_HUMAN	GSAQVKGHGKKVADALTNAVAHVDDMPNALSALSDLHAHKL	Average score 25
RandomB1	QVGAKDLNALDGKVAHDMPAAVALGSAAHVDLSTNSKHHKL	
RandomB2	VAHSDLDAVKGDMPNGSAKKVAAQAAHGLSLTNHAHKLLVD	
...		
RandomBK	HVDDMTNAGKKVPNAGSAQADAVALHAKLLVKGHLSALS	

HBB_HUMAN	GNPKVKAHGKKVLGAFSDGLAHLDNLKGTFATLSELHCDKL	Average score 25
RandomA1	HLSEKVLGTLKGTGKFSDGCDKLLKAHNPKVLAGAFALHD	
RandomA2	KATEFATKVDGAFSDLSLLAHGKKVGGHGNLPNLKHCDKL	
...		
RandomAK	GTKKHGFSELPKVAHGNLDNDGHCGLAFSADKLVLATLKLK	

Z-value and p-value

Alignments

$$Z(A) = \frac{E(X) - Score(A)}{\sqrt{V(X)}}$$

$$Pval(A) = \Pr(X \geq Score(A))$$

X = random variable, score of an alignment with a random sequence.

Motifs

$$Z(M) = \frac{E(X) - \#occ(M)}{\sqrt{V(X)}}$$

$$Pval(M) = \Pr(X \geq \#occ(M))$$

X = random variable, number of occurrences of M in a random sequence.

Choix du modèle de séquences aléatoires

Séquence biologique :

TTAATTATATAAATTA**GCTGGTGG**CAAACCAATTACATATACAAATTAA...
CAATAAAACTTATTAATAAAAATCTAACCCCTTACCTTCAA**GCTGGTGG**AAA...
AC**GCTGGTGG**AACAATAACTTATTTT**GCTGGTGG**AATCCAAATAATATAC...
TAAAAACAAATA**GCTGGTGG**TCTACAATAATATACTTATTAAAAAAACAA...
ACAAAATAATCCCTTTAAAA**GCTGGTGG**CATACTATTTCTACCACCTAA...

Etonnant !

Séquence biologique :

TTCGTTGTCTCCGTT**GCTGGTGG**GCGGGGCTTGGGCTGTCGCCCTTC...
GCGTGGGTTGTTCGTGGCTGTCGGGGTTCGGTTGCC**GCTGGTGG**GGC...
GG**GCTGGTGG**GCGCCTGCGTTTTT**GCTGGTGG**GCTGGGGTCGTCTGG...
TCCGGCGGGGTG**GCTGGTGG**TCTGCGCTCGTGTGTTGGCGGGCGGG...
GGGGGCTGGTGGGTGTCGCG**GCTGGTGG**GCTCGTGTGTTGTGGGGGTG...

Moins étonnant !

Modèles classiques de séquences aléatoires [Fitch 83]

Séquence biologique :

AACGACGTGCCGTGCGCTCGACGT

Occurrences :

AACG : 1

Modèles classiques de séquences aléatoires [Fitch 83]

Séquence biologique :

A **AACGA** CGTGCCGTGCGCTCGACGT

Occurrences :

AACG : 1

ACGA : 1

Modèles classiques de séquences aléatoires [Fitch 83]

Séquence biologique :

AACGACGTGCCGTGCGCTCGACGT

Occurrences :

AACG : 1

ACGA : 1

CGAC : 1

Modèles classiques de séquences aléatoires [Fitch 83]

Séquence biologique :

AAC**GACG**TGCCGTGCGCTCGACGT

Occurrences :

AACG : 1

ACGA : 1

CGAC : 1

GACG : 1

Modèles classiques de séquences aléatoires [Fitch 83]

Séquence biologique :

AACGACGTGCCGTGCGCTCGACGT

Occurrences :

AACG : 1

ACGA : 1

CGAC : 2

GACG : 2

ACGT : 2

CGTG : 2

GTGC : 2

TGCG : 2

GCGT : 1

GCGC : 1

CGCT : 1

GCTC : 1

CTCG : 1

TCGA : 1

Modèle exact (shuffling)

Séquences ayant **exactement** les mêmes nombres d'occurrences de nucléotides que la séquence de référence.

Occurrences :

AACG : 1

ACGA : 1

CGAC : 2

GACG : 2

ACGT : 2

CGTG : 2

GTGC : 2

TGCG : 2

GCGT : 1

GCGC : 1

CGCT : 1

GCTC : 1

CTCG : 1

TCGA : 1

Modèle markovien

Séquences ayant **en moyenne** les mêmes nombres d'occurrences de nucléotides que la séquence de référence.

$$\Pr(G|AAC) = 1$$

$$\Pr(T|GCG) = 1/2$$

Occurrences :

AACG : 1

ACGA : 1

CGAC : 2

GACG : 2

ACGT : 2

CGTG : 2

GTGC : 2

TGCG : 2

GCGT : 1

GCGC : 1

CGCT : 1

GCTC : 1

CTCG : 1

TCGA : 1

Sur- (ou sous-) représentation de motifs

Données :

- un modèle de séquence,
- n : longueur de la séquence,
- un motif H .

Problème : établir la loi du motif dans les séquences aléatoires de longueur n

- Probabilité que H apparaisse r fois ? Ou au moins r fois ?
- Espérance ? Ecart-type ?

Deux types d'approches :

- Approches analytiques
- Approche expérimentale

Approches analytiques

Méthodes probabilistes

([Prum, Rodolphe, de Turkheim 95], [Schbath 97], [Apostolico, Bock, Xuyan 98], [Reinert, Schbath, Waterman 00]...)

Méthodes combinatoires : calcul de séries génératrices de probabilités.

- Approche « généraliste »

([Nicodème, Salvy, Flajolet 99], [Nicodème 01]...)

- Approche « spécialisée »

([Régnier, Szpankowski 98], [Robin, Daudin 99], [Régnier 00], ...)

+ Grandes déviations

([Régnier, Szpankowski 98], [Reinert, Schbath, Waterman 00], ...)

Série génératrice d'un langage

Mots qui contiennent au moins une fois le motif **TT**.

TT	ATT	AATT	AAATT	AAAAAT
TTA	ATTA	AATTA	AAAATTA	
TTT	ATTT	AATTT	AAAATT	
	TATT	ATA TT	AATA TT	
	TTAA	ATTAA	AATTAA	
	

1

3

8

19

43

...

Série génératrice d'un langage

Mots qui contiennent au moins une fois le motif **TT**.

TT	A TT	A A TT	A A A TT	A A A A TT
	TTA	A TTA	A ATTA	A A TTA
TTT	A TTT	A ATT T	A ATTT	A A A TTT
	TATT		ATATT	AATA TT
	TTAA	A TTAA	A AT AA	A A TT AA
	

$$1z^2 + 3z^3 + 8z^4 + 19z^5 + 43z^6 + \dots$$

$$= \sum_{n \geq 0} a_n z^n \quad (a_n = \text{nbe de mots de longueur } n)$$

Fonction génératrice d'un langage

$\sum_{n \geq 0} a_n z^n = z^2 + 3z^3 + 8z^4 + 19z^5 + 43z^6 + \dots$ est le développement de Taylor au voisinage de $z = 0$ de la fonction

$$f(z) = \frac{z^2}{(1 - 2z)(1 - z - z^2)}.$$

Calcul de a_n :

fonction génératrice rationnelle \rightarrow
$$\begin{cases} \text{Formule de récurrence} \\ \text{Formule close} \\ \text{Formule asymptotique :} \\ \quad a_n \sim P(n) \alpha^n \end{cases}$$

Occurrences d'un motif

Combien existe-t-il de mots de longueur n qui contiennent k fois le motif **TT** ?

$$f(z, u) = \sum_{n,k \geq 0} b_{n,k} z^n u^k$$

.	A	AA	TT	AAA	A TT	TTT
T		AT		AAT	TTA	
		TA		ATA		
				TAA		
					TAT	

$$1 + 2z + (3 + u)z^2 + (5 + 2u + u^2)z^3 + \dots$$

Version probabiliste

Quelle est la probabilité qu'une séquence aléatoire ($p(A)=1/3$, $p(T)=2/3$) de longueur n contienne k fois le motif **TT** ?

$$f(z, u) = \sum_{n,k \geq 0} p_{n,k} z^n u^k$$

.	A	AA	TT	AAA	A TT	TTT
T		AT		AAT	TTA	
		TA		ATA		
				CAA		
				TAT		

$$1 + z + \left(\frac{5}{9} + \frac{4}{9}u\right)z^2 + \left(\frac{11}{27} + \frac{8}{27}u + \frac{8}{27}u^2\right)z^3 + \dots$$

Grandeurs d'intérêt (pour un motif)

Fonction génératrice :

$$L(z, u) = \sum_{n,k \geq 0} Pr(X_n = k) z^n u^k$$

où X_n est la variable aléatoire qui compte le nombre d'occurrences de H dans une séquence de longueur n .

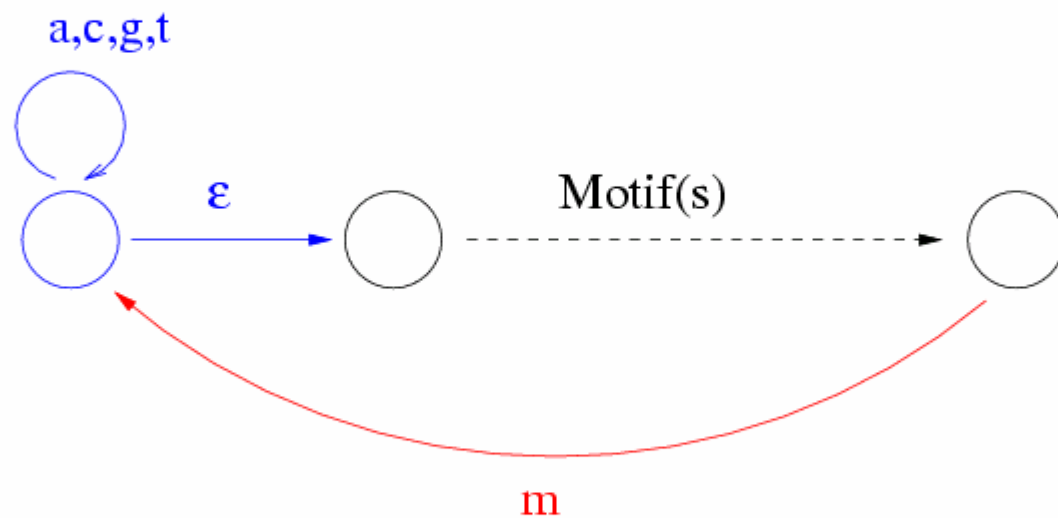
$$E(X_n) = \sum_{k \geq 0} k p_{n,k} = [z^n] \frac{\partial L}{\partial u}(z, 1)$$

$$V(X_n) = [z^n] \left(\frac{\partial^2 L}{\partial u^2}(z, 1) + \frac{\partial L}{\partial u}(z, 1) - \left(\frac{\partial L}{\partial u}(z, 1) \right)^2 \right)$$

$$Pr(X_n \geq k) = 1 - [z^n u^{k-1}] \frac{1}{1-u} L(z, u).$$

Approche “généraliste” [Nicodème, Salvy, Flajolet]

Automate

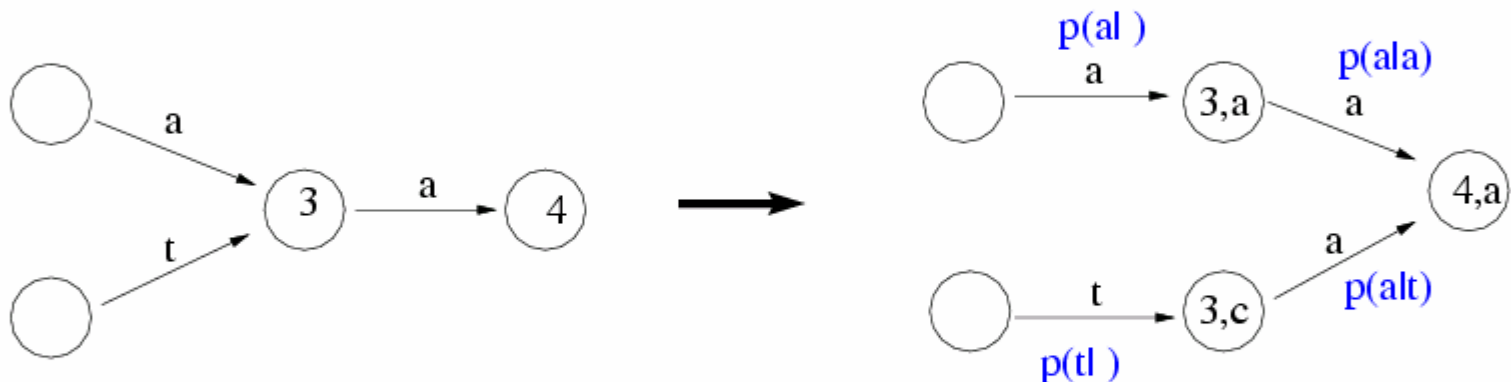


à déterminiser.

Approche “généraliste”

Automate \times Chaîne de Markov = automate probabiliste

Ordre 1 :



→ Série génératrice de probabilité.

+ : généralisable à tout ensemble de motifs décrit par une expression rationnelle.

- : Pas de formules “closes”.

Approche “spécialisée” [Régnier, Szpankovski]

Décomposition du langage des séquences

$\mathcal{L} = \{ \text{ mots qui contiennent au moins une fois le motif } H \}$

$\mathcal{R} = \{ \text{ mots qui ont } H \text{ pour suffixe et ne contiennent pas d'autre occurrence de } H \}$

$\mathcal{M} = \{ \text{ mots } w \text{ tels que } Hw \text{ a } H \text{ pour suffixe et ne contient pas d'autre occurrence de } H \}$

$\mathcal{U}_i = \{ \text{ mots } w \text{ tels qu'il y a une seule occurrence de } H \text{ dans } Hw \}$

$\underbrace{AA\textcolor{blue}{TT}}_{\in \mathcal{R}} \underbrace{ATT}_{\in \mathcal{M}} \underbrace{T}_{\in \mathcal{M}} \underbrace{ATAT\textcolor{blue}{ATT}}_{\in \mathcal{M}} \underbrace{T}_{\in \mathcal{M}} \underbrace{ATAA}_{\in \mathcal{U}} \in \mathcal{L}$

Fonction génératrice du langage des séquences

$$\underbrace{AA\textcolor{blue}{TT}}_{\in \mathcal{R}} \underbrace{ATT}_{\in \mathcal{M}} \underbrace{T}_{\in \mathcal{M}} \underbrace{ATATAT\textcolor{blue}{TT}}_{\in \mathcal{M}} \underbrace{T}_{\in \mathcal{M}} \underbrace{ATAA}_{\in \mathcal{U}} \quad \in \mathcal{L}$$

$$\begin{aligned} \mathcal{L} &= \mathcal{R} . (\varepsilon \cup \mathcal{M} \cup \mathcal{M}.\mathcal{M} \cup \mathcal{M}.\mathcal{M}.\mathcal{M} \cup \dots) . \mathcal{U} \\ & (= \mathcal{R} . \mathcal{M}^* . \mathcal{U}) \end{aligned}$$

$$\begin{aligned} L(z, u) &= uR(z) \times (1 + uM(z) + (uM(z))^2 + (uM(z))^3 + \dots) \times U(z) \\ &= uR(z) \times \frac{1}{1 - uM(z)} \times U(z) \end{aligned}$$

Equation pour la fonction génératrice de \mathcal{M}

$$\underbrace{A\textcolor{blue}{TT}}_{\in \mathcal{M}} \underbrace{T}_{\in \mathcal{M}} \underbrace{AT\overbrace{ATA}^{\in \mathcal{M}} \textcolor{blue}{TT}}_{\in \mathcal{M}} \underbrace{T}_{\in \mathcal{M}} \in \mathcal{M}^*$$

$$\mathcal{M}^* = \{ \underbrace{1}_{\mathcal{A}}, \underbrace{T, TT, ATT, TTT, AATT, \dots}_{\mathcal{X}^*H} \}$$

\mathcal{A} est l'ensemble d'autocorrélation du motif H .

$$\mathcal{M}^* = \mathcal{A} \cup \mathcal{X}^*H$$

$$\Rightarrow \frac{1}{1 - M(z)} = A(z) + \frac{1}{1 - z} p(H) z^{\ell(H)}$$

(ici, $A(z) = 1 + zp(T)$.)

Expressions des fonctions génératrices

$$\underbrace{AA\textcolor{blue}{TT}}_{\in \mathcal{R}} \underbrace{ATT}_{\in \mathcal{M}} \underbrace{T}_{\in \mathcal{M}} \underbrace{ATATAT\textcolor{blue}{TT}}_{\in \mathcal{M}} \underbrace{T}_{\in \mathcal{M}} \underbrace{ATAA}_{\in \mathcal{U}} \in \mathcal{L}$$

$$L(z, u) = \frac{uR(z)U(z)}{1 - uM(z)}$$

où

$$M(z) = 1 + \frac{(z - 1)}{D(z)} , R(z) = \frac{p(H)z^{\ell(H)}}{D(z)} , U(z) = \frac{1}{D(z)}$$

et

$$D(z) = (1 - z)A(z) + p(H))z^{\ell(H)}.$$

Généralisation à un ensemble de motifs \mathcal{H}

$\mathcal{L}_k = \{ \text{mots qui contiennent } k \text{ occurrences valides de motifs de } \mathcal{H} \}$

$\mathcal{R}_i = \{ \text{mots qui ont } H_i \text{ pour suffixe et ne contiennent aucun autre motif de } \mathcal{H} \}$

$\mathcal{M}_{i,j} = \{ \text{mots } w \text{ tels que } H_i w \text{ admet } H_j \text{ pour suffixe, et que } H_i \text{ et } H_j \text{ sont les seules occurrences valides dans } H_i w \}$

$\mathcal{U}_i = \{ \text{mots } w \text{ t.q. l'unique occurrence valide dans } H_i w \text{ soit } H_i \}$

$$\mathcal{H} = \{ AAT, GATC, CTG \}$$

$\underbrace{GTCAGTC}_{\mathcal{R}_1} \underbrace{AAT}_{\mathcal{M}_{1,2}} \underbrace{TGTGATC}_{\mathcal{M}_{2,1}} \underbrace{GTGTTTTT}_{\mathcal{M}_{1,3}} \underbrace{AAT}_{\mathcal{U}_3} \underbrace{GCTG}_{\mathcal{U}_3} \underbrace{ATATATA}_{\mathcal{U}_3}$

Décomposition du langage des séquences

Equations pour les langages + Chaîne de Markov

$$\mathcal{R}_i, \mathcal{M}_{i,j}, \mathcal{U}_i$$



Formule générale pour la série génératrice de probabilités

$$L(z, u) = \sum p_{n,k} z^n u^k$$



Formules pour l'évaluation de la surreprésentativité

Un résultat de grandes déviations

[Régnier, Szpankowsky 97]+[Régnier, AD 03]

$$Pr(X_n \geq k) \approx \frac{1}{2\sigma_a \sqrt{n}} e^{-nI(a)}$$

où $a = k/n$,

$$I(a) = a \ln \left(\frac{D_1(z_a)}{D_1(z_a) + z_a - 1} \right) + \ln z_a ,$$

$$\sigma_a^2 = a(a-1) - a^2 z_a \left(\frac{2D'_1(z_a)}{D_1(z_a)} - \frac{(1-z_a)D''_1(z_a)}{D_1(z_a) + (1-z_a)D'_1(z_a)} \right) ,$$

$$D_1(z) = (1-z)A_1(z) + P(H_1)z^{|H_1|} ,$$

et z_a est la plus grande racine positive de l'équation

$$D_1(z)^2 - (1 + (a-1)z)D_1(z) - az(1-z)D'_1(z) = 0.$$

Approche expérimentale :

génération aléatoire de séquences génomiques

Modèle markovien

- Chaîne de Markov :

$$\begin{array}{ll} p(A \mid \text{GGA}) = \dots & p(C \mid \text{GGA}) = \dots \\ p(G \mid \text{GGA}) = \dots & p(T \mid \text{GGA}) = \dots \end{array}$$

ACGTAGATGACAACAATTAGCATGT**GGA**

- Loi de Bernoulli :

$$\begin{array}{ll} p(A) = \dots & p(C) = \dots \\ p(G) = \dots & p(T) = \dots \end{array}$$

ATATATATATTATCTTGCAACTCGGAG

Génération en fréquences moyennes (markovienne)

$$\Pr(G|AAC) = 1$$

$$\Pr(G|CGT) = 1$$

$$\Pr(A|ACG) = 1/3$$

...

$$\Pr(C|CGA) = 1$$

$$\Pr(G|GAC) = 1$$

$$\Pr(T|ACG) = 2/3$$

Occurrences :

AACG : 1

CGTG : 2

CGCT : 1

ACGA : 1

GTGC : 2

GCTC : 1

CGAC : 2

TGCG : 2

CTCG : 1

GACG : 2

GCGT : 1

TCGA : 1

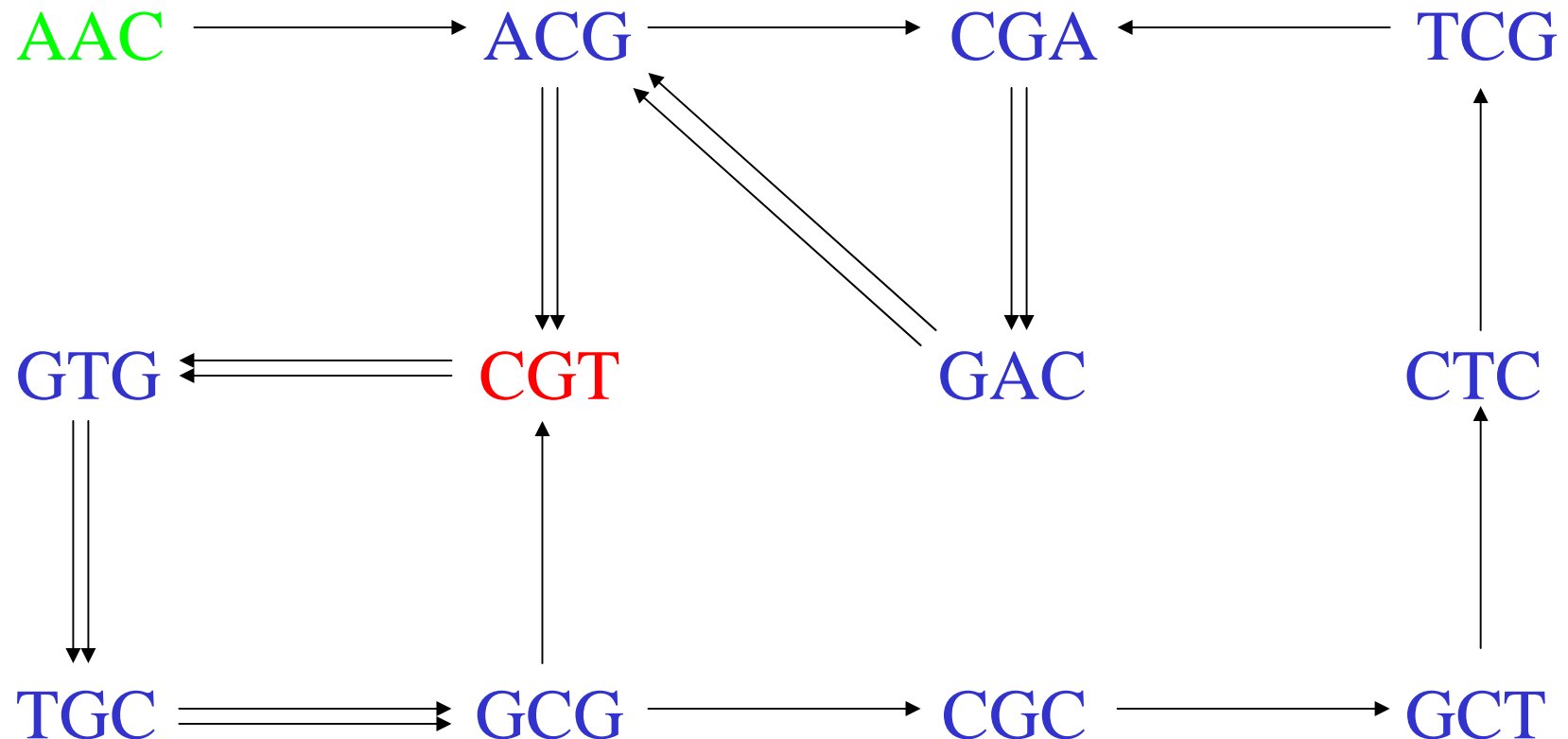
ACGT : 2

GCGC : 1

Génération en fréquences exactes

[Kandel, Matias, Unger, Winkler 96]

Chemin eulérien dans le graphe suivant :



AACG : 1

ACGA : 1

CGAC : 2

GACG : 2

ACGT : 2

CGTG : 2

GTGC : 2

TGCG : 2

GCGT : 1

GCGC : 1

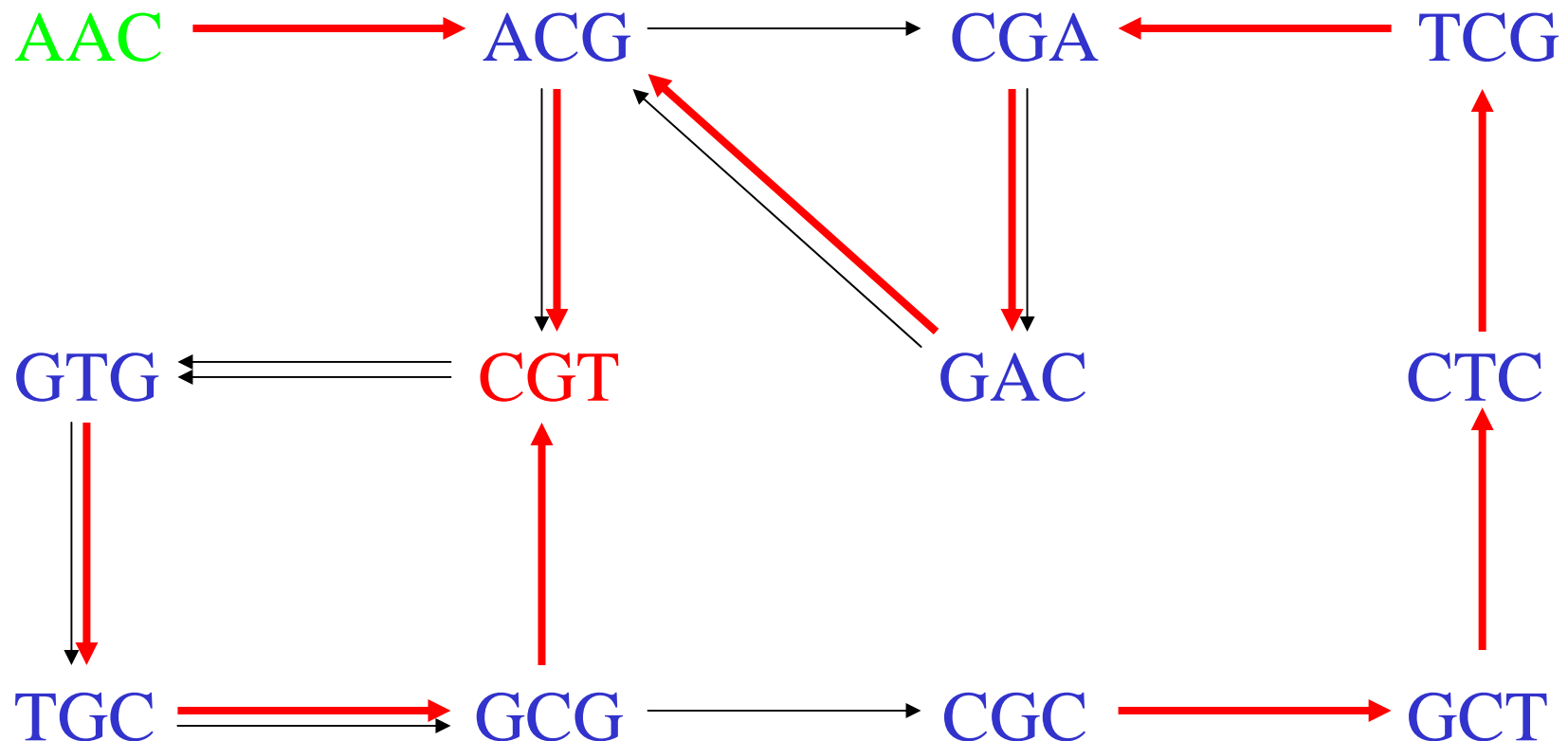
CGCT : 1

GCTC : 1

CTCG : 1

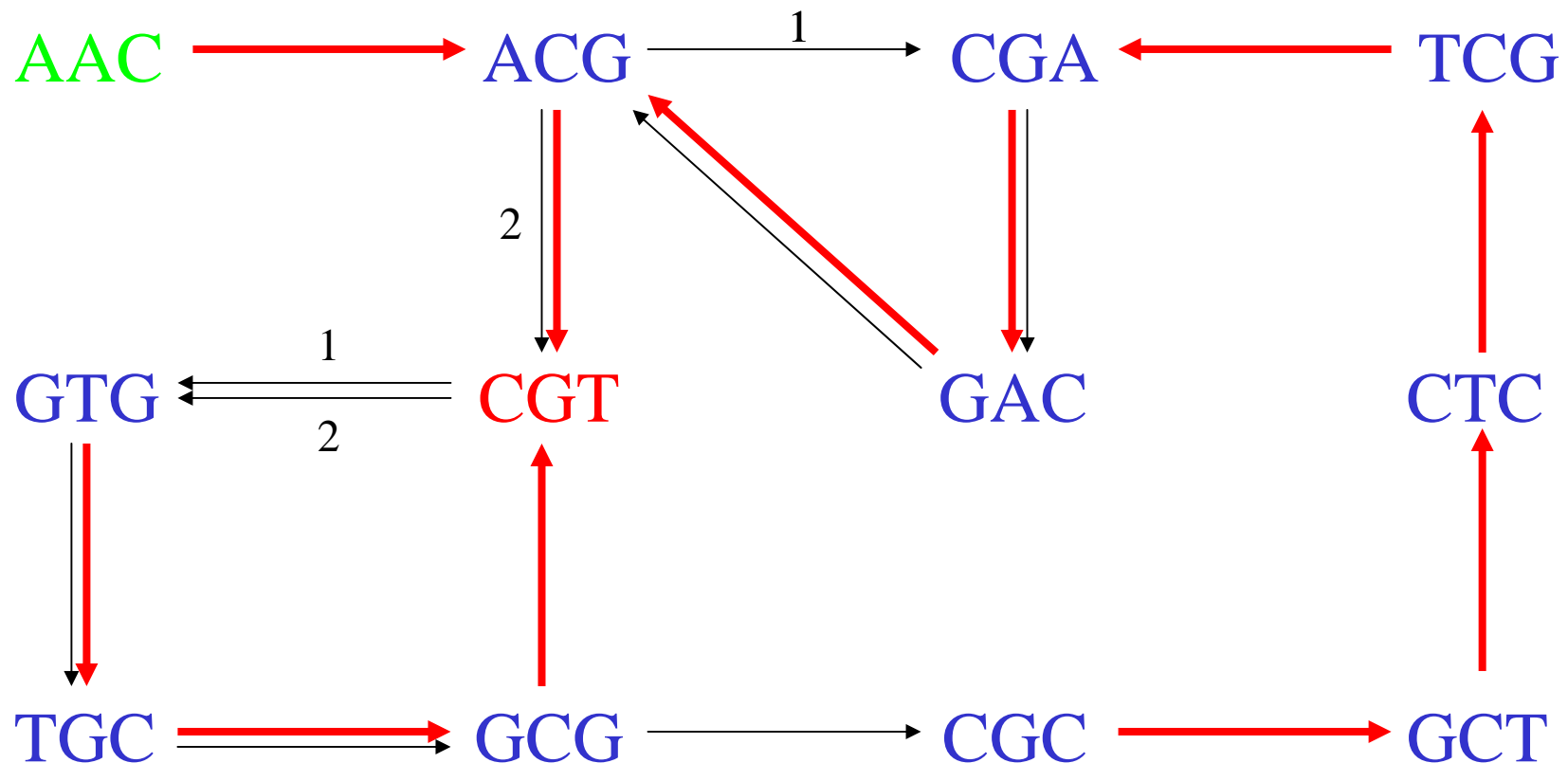
TCGA : 1

Génération en fréquences exactes



Chemin eulérien = arbre couvrant \times ordre des arcs adjacents à un même sommet

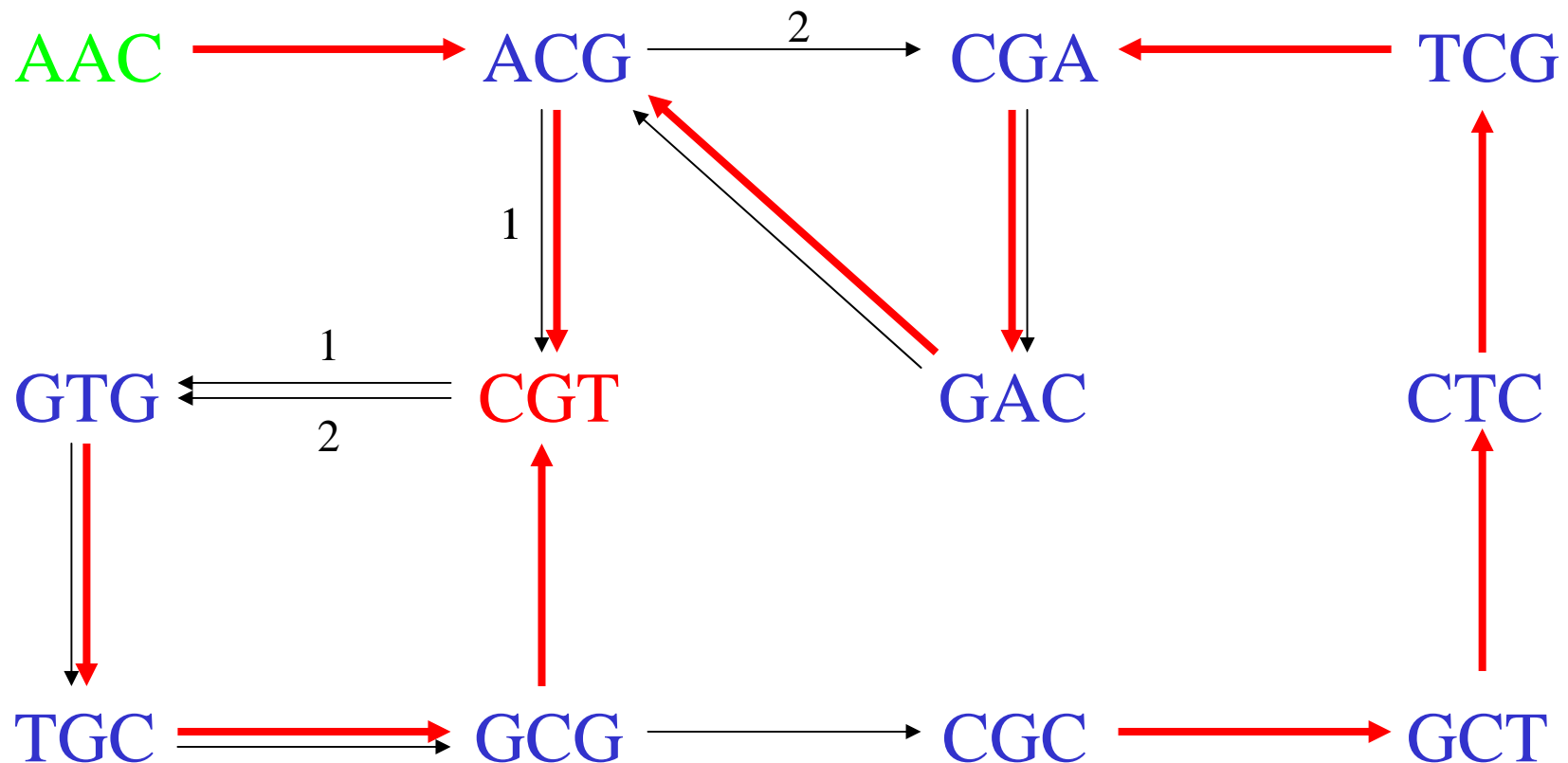
Génération en fréquences exactes



AACGACGTGCGCTCGACGTGCGT

Chemin eulérien = arbre couvrant \times ordre des arcs adjacents à un même sommet

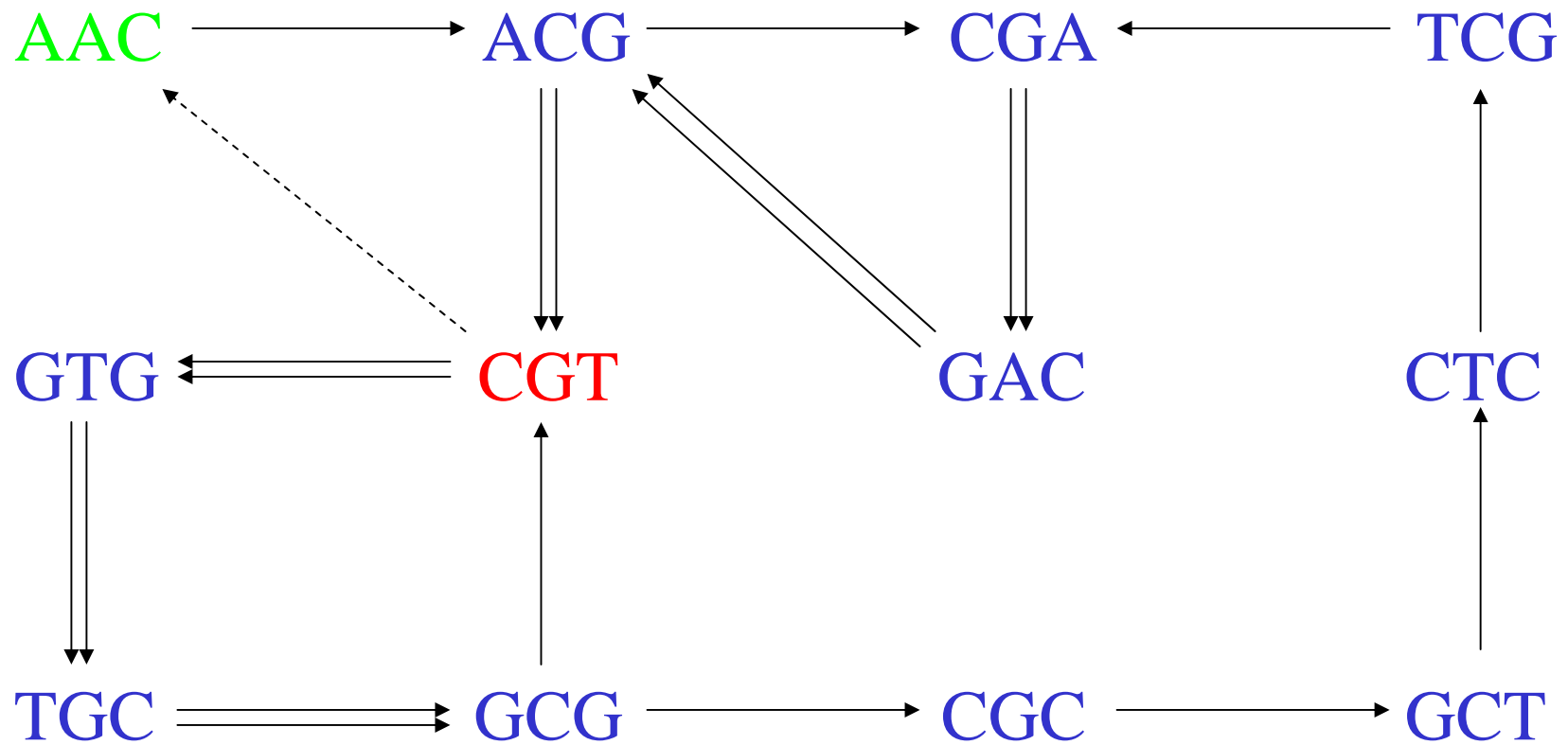
Génération en fréquences exactes



AAC GTG CGC TCG ACG ACG TG CGT

Chemin eulérien = arbre couvrant \times ordre des arcs adjacents à un même sommet

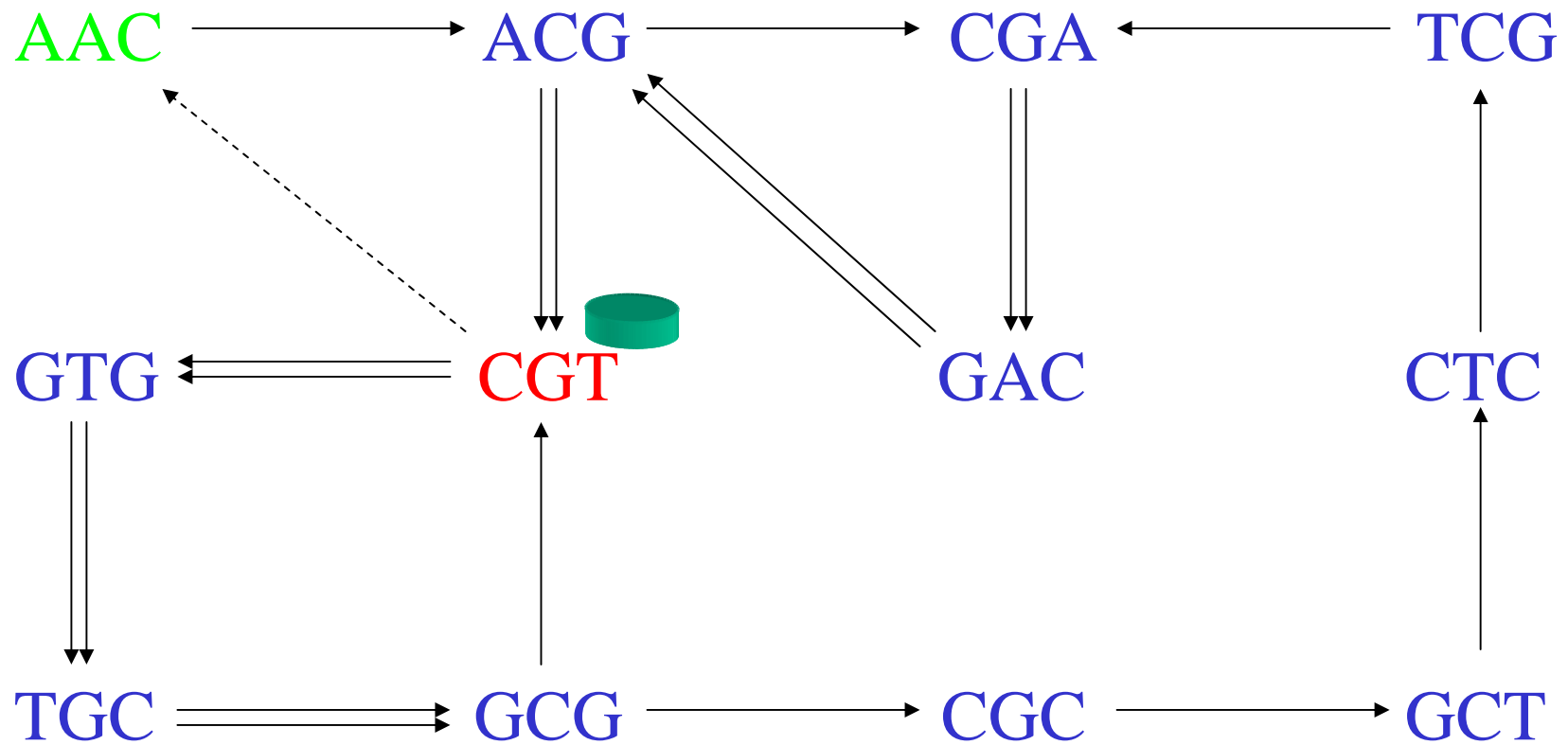
Génération en fréquences exactes



Engendrer un arbre couvrant aléatoire uniformément

[Aldous, Broder]
[Wilson]

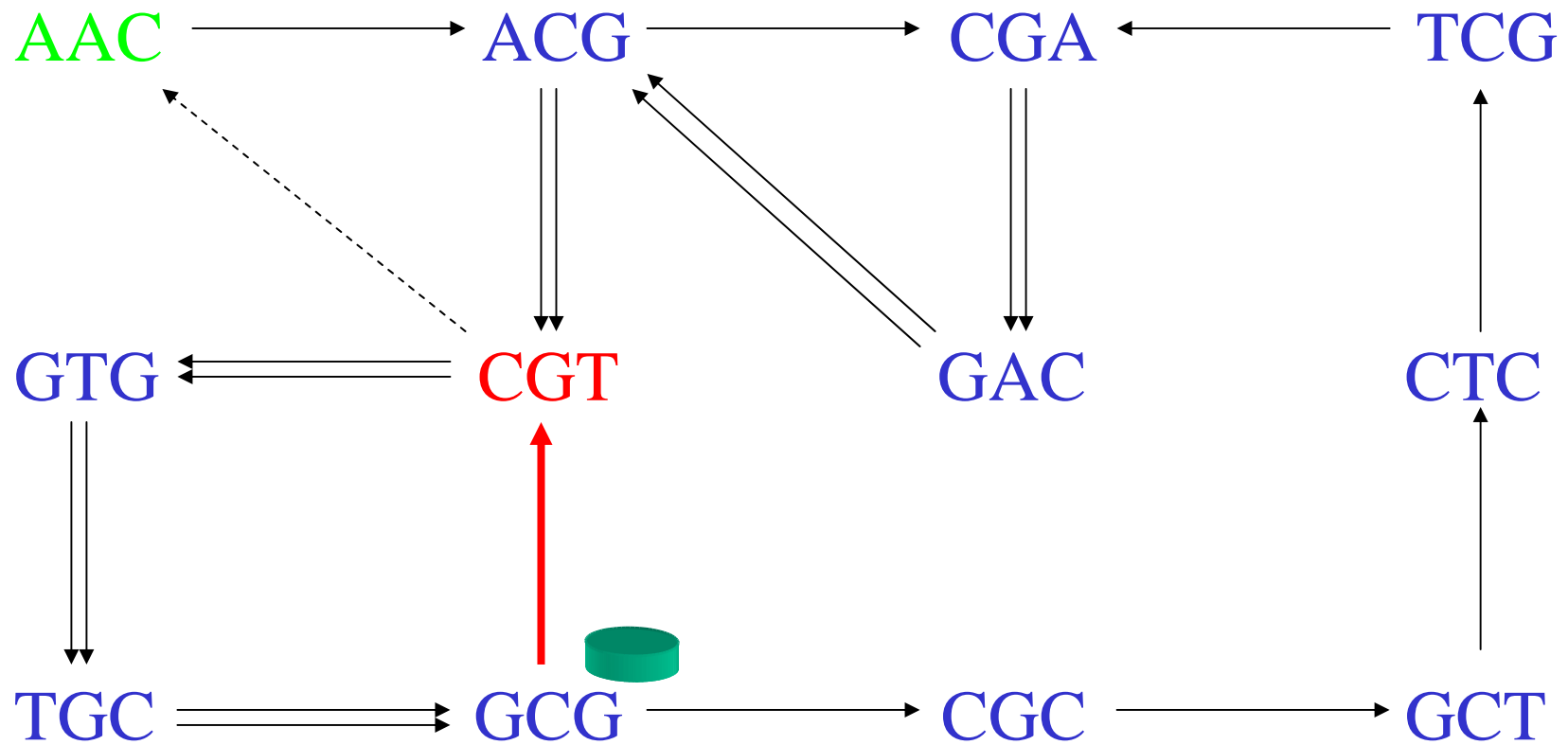
Génération en fréquences exactes



Engendrer un arbre couvrant aléatoire uniformément

[Aldous, Broder]
[Wilson]

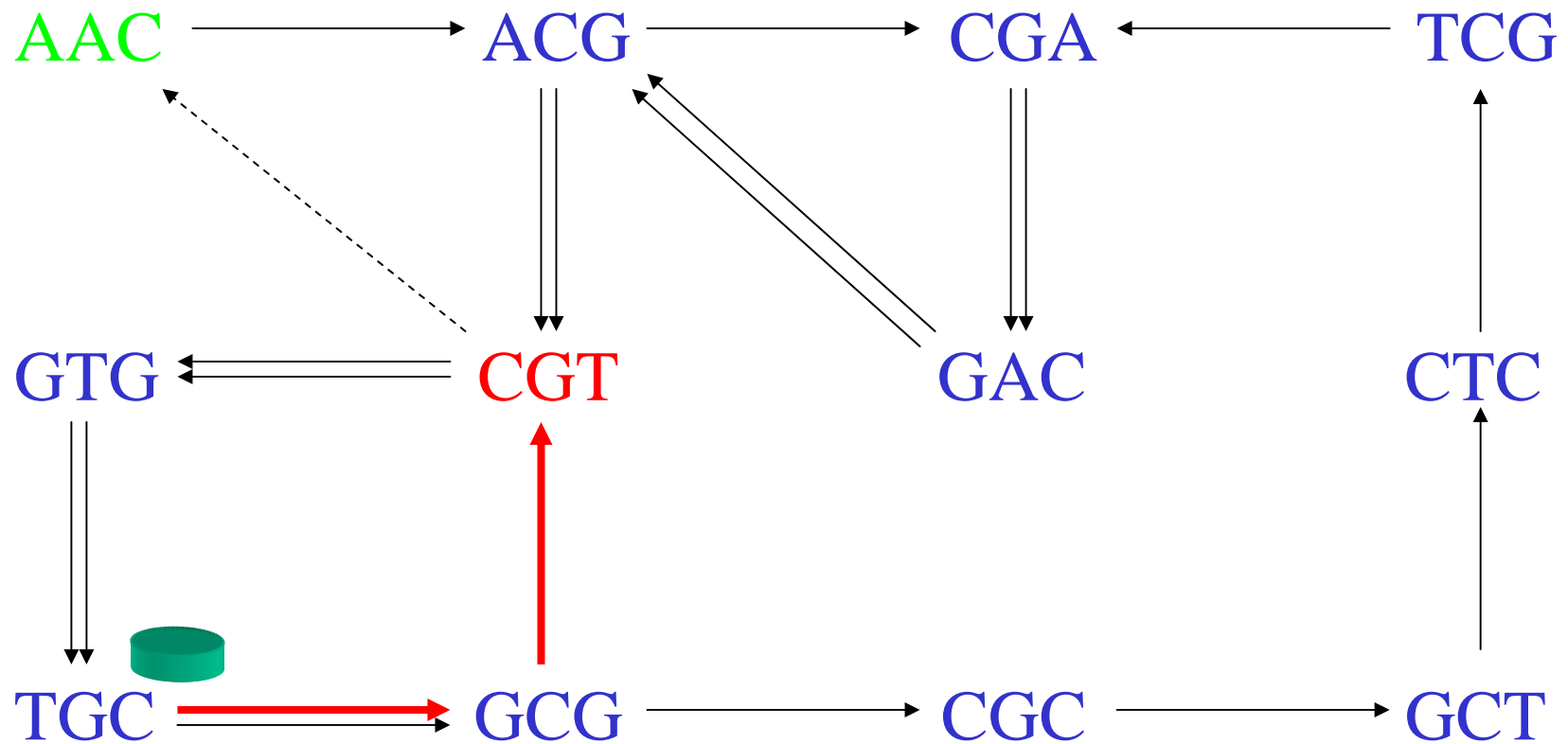
Génération en fréquences exactes



Engendrer un arbre couvrant aléatoire uniformément

[Aldous, Broder]
[Wilson]

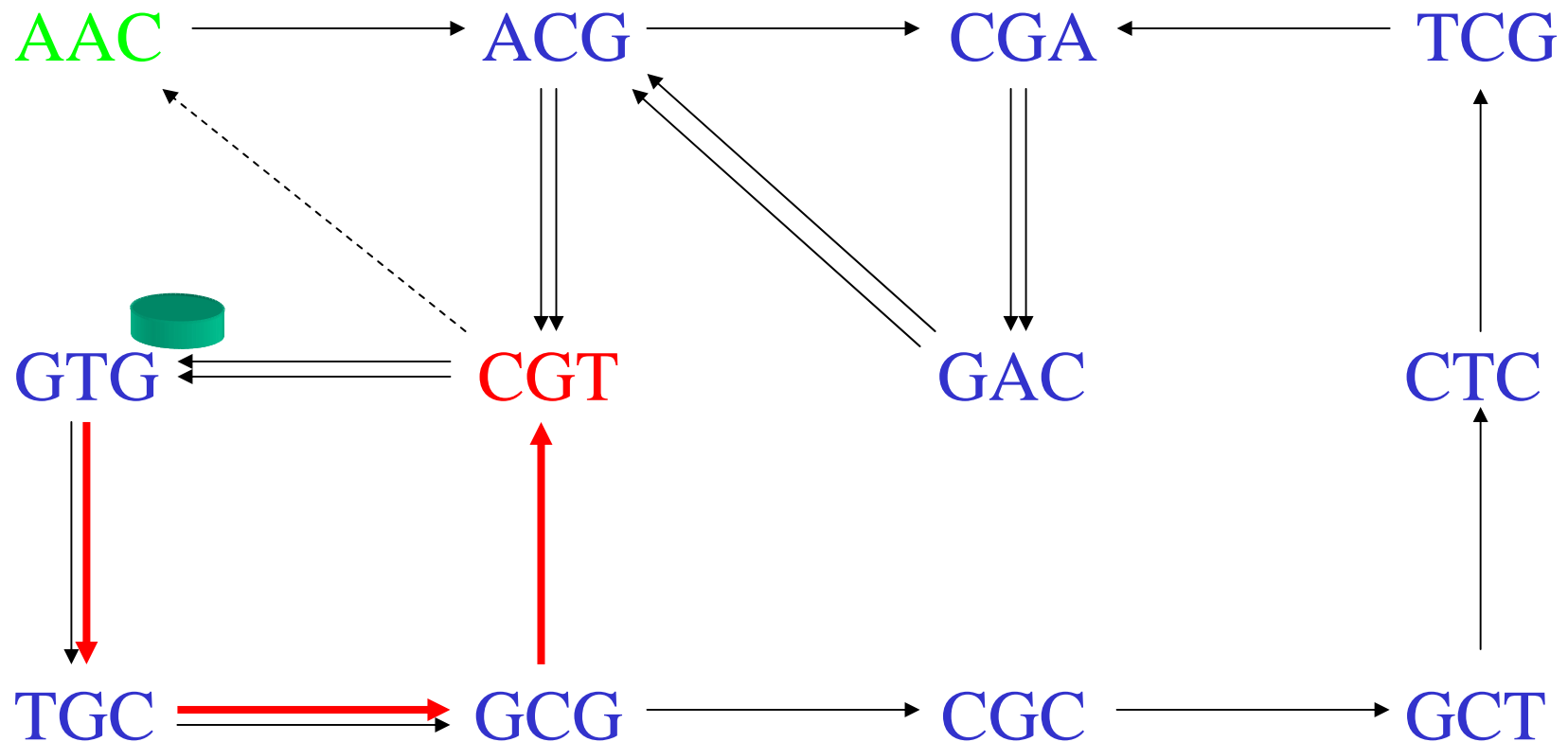
Génération en fréquences exactes



Engendrer un arbre couvrant aléatoire uniformément

[Aldous, Broder]
[Wilson]

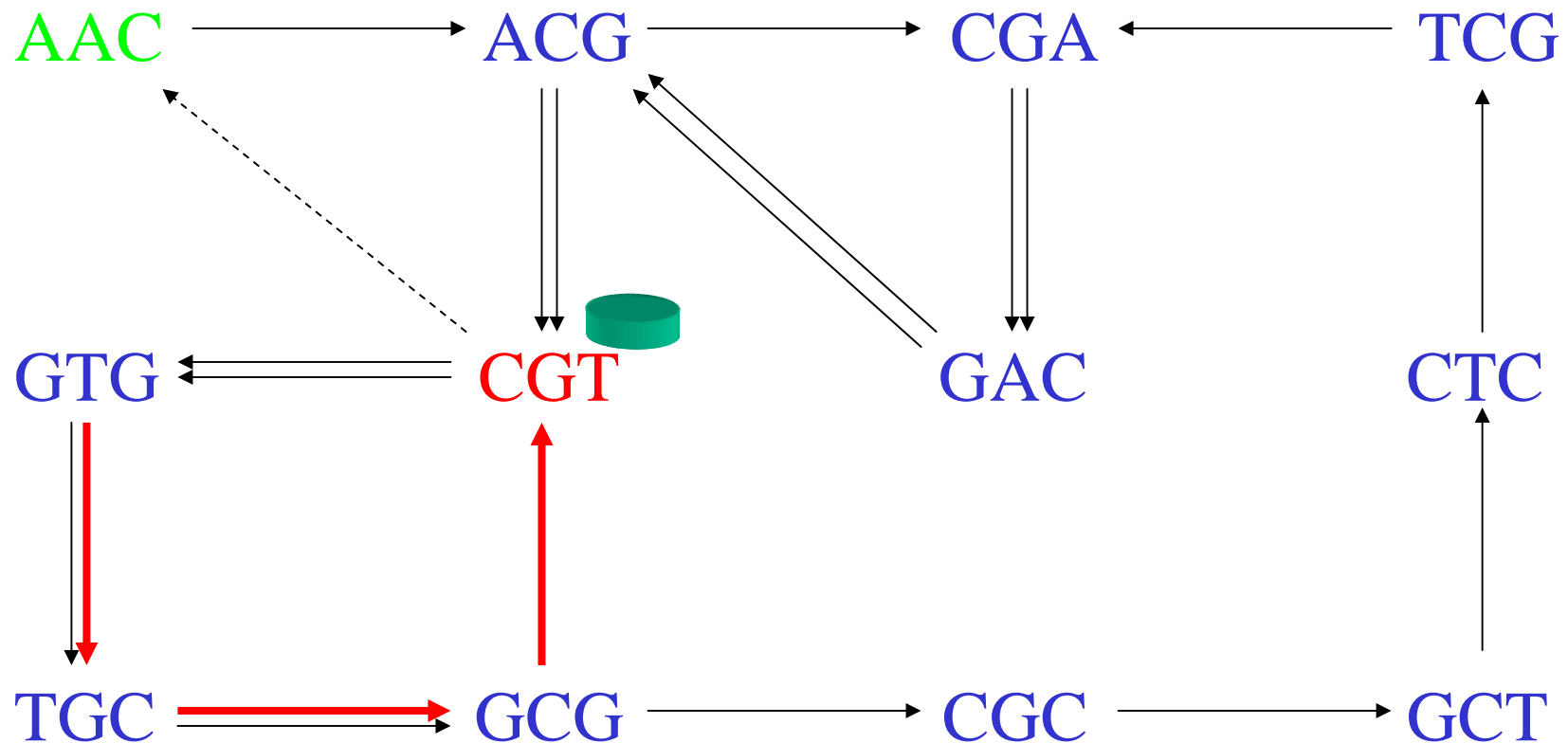
Génération en fréquences exactes



Engendrer un arbre couvrant aléatoire uniformément

[Aldous, Broder 90]
[Wilson 97]

Génération en fréquences exactes

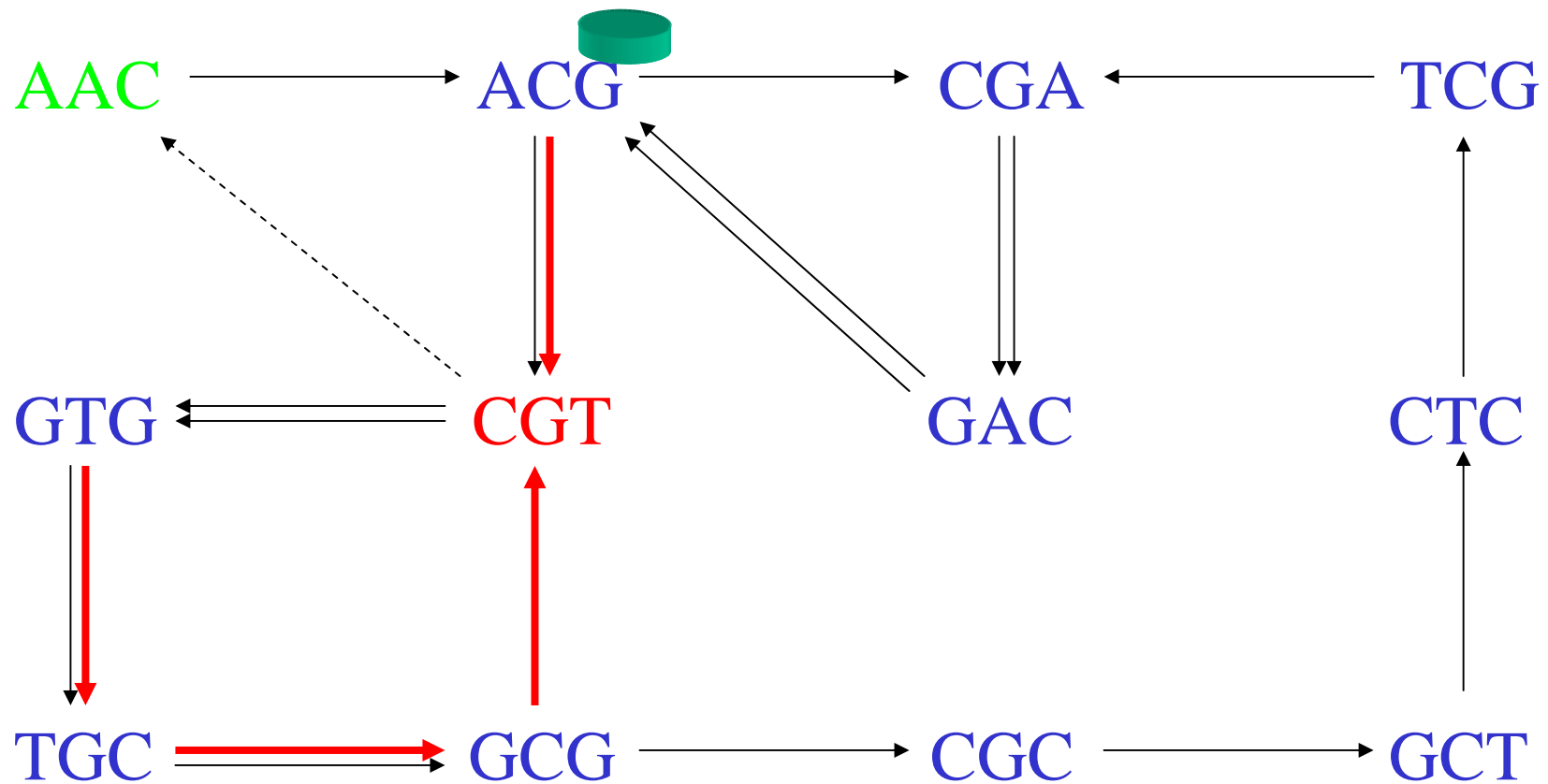


Engendrer un arbre couvrant aléatoire uniformément

[Aldous, Broder 90]

[Wilson 97]

Génération en fréquences exactes

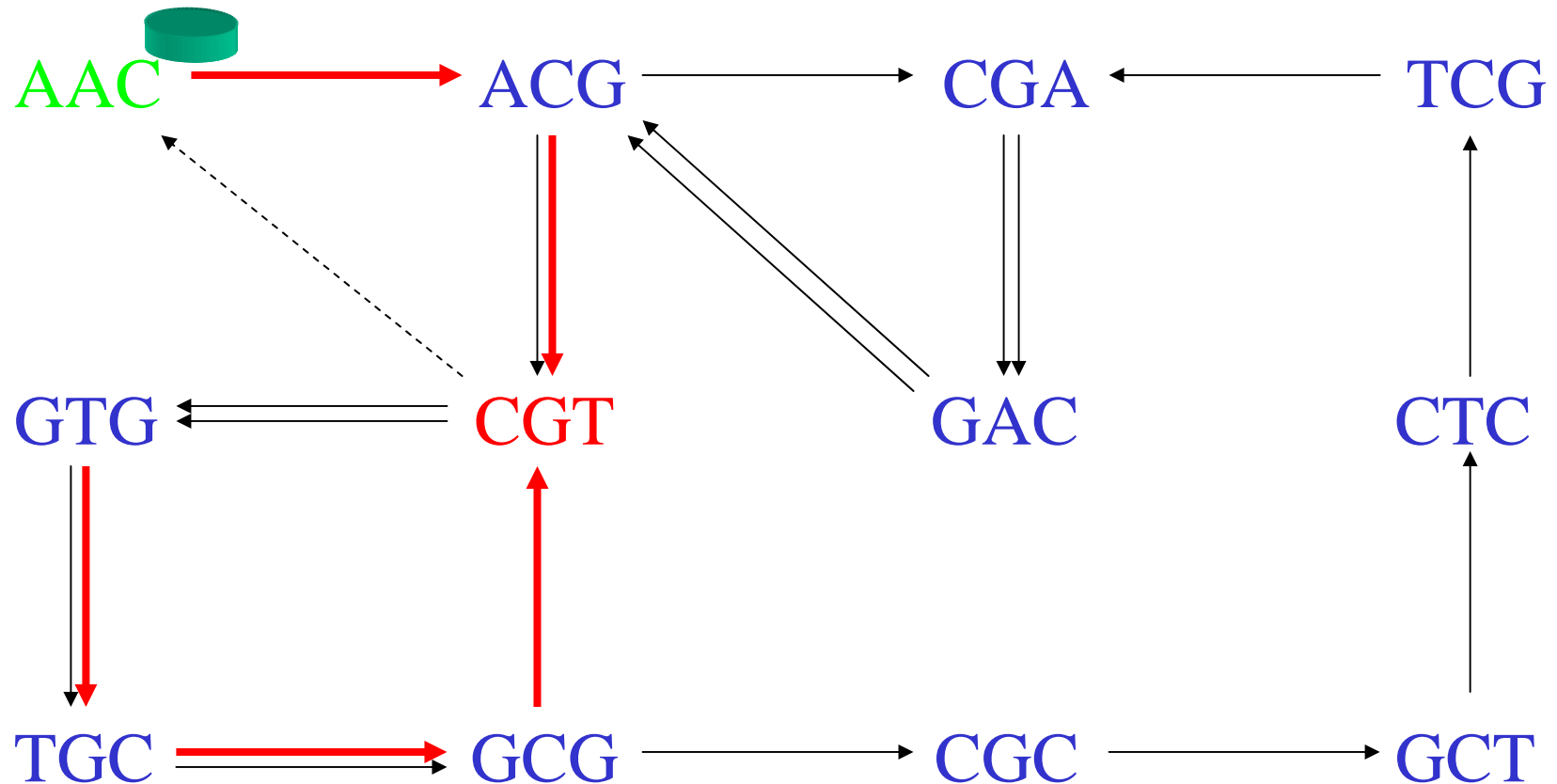


Engendrer un arbre couvrant aléatoire uniformément

[Aldous, Broder 90]

[Wilson 97]

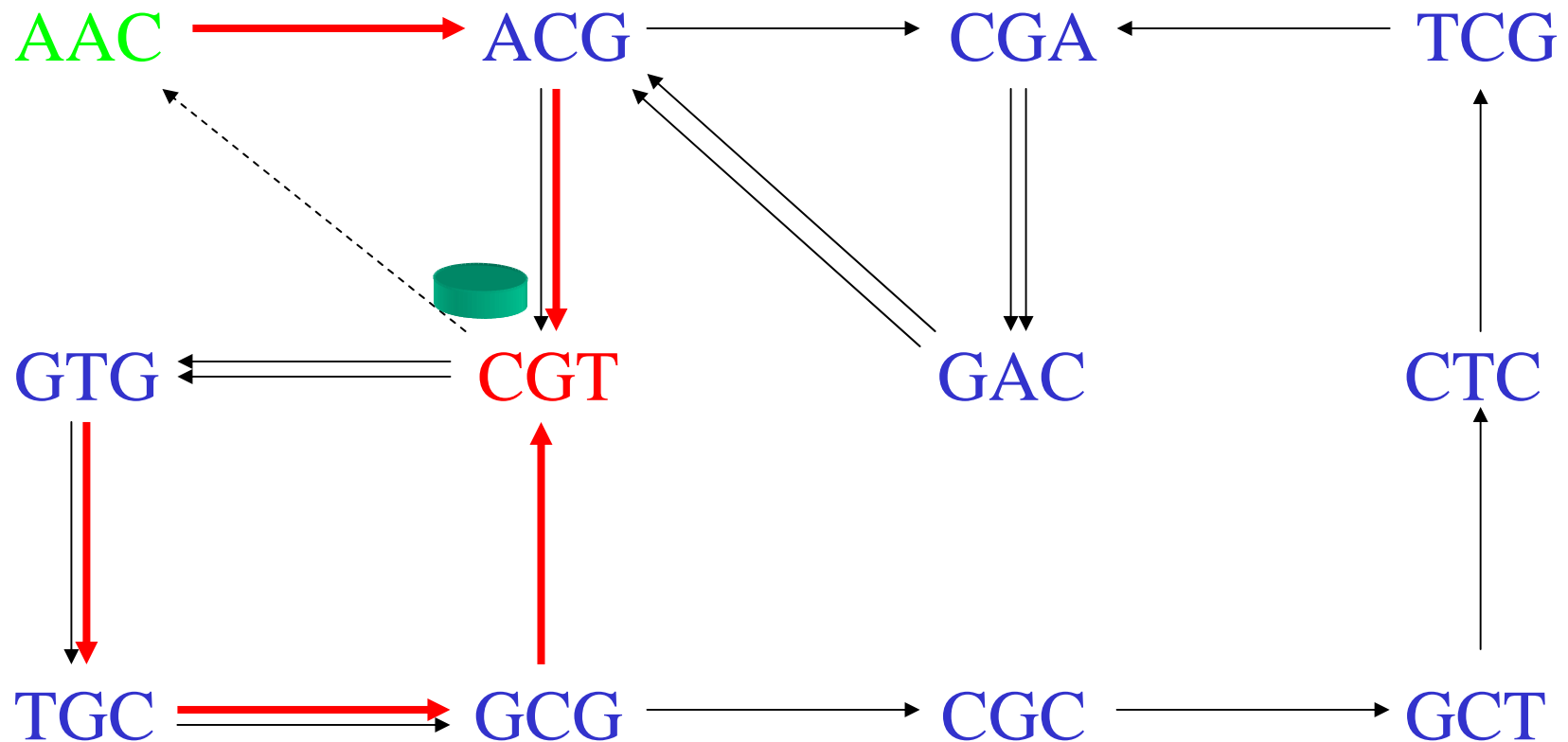
Génération en fréquences exactes



Engendrer un arbre couvrant aléatoire uniformément

[Aldous, Broder 90]
[Wilson 97]

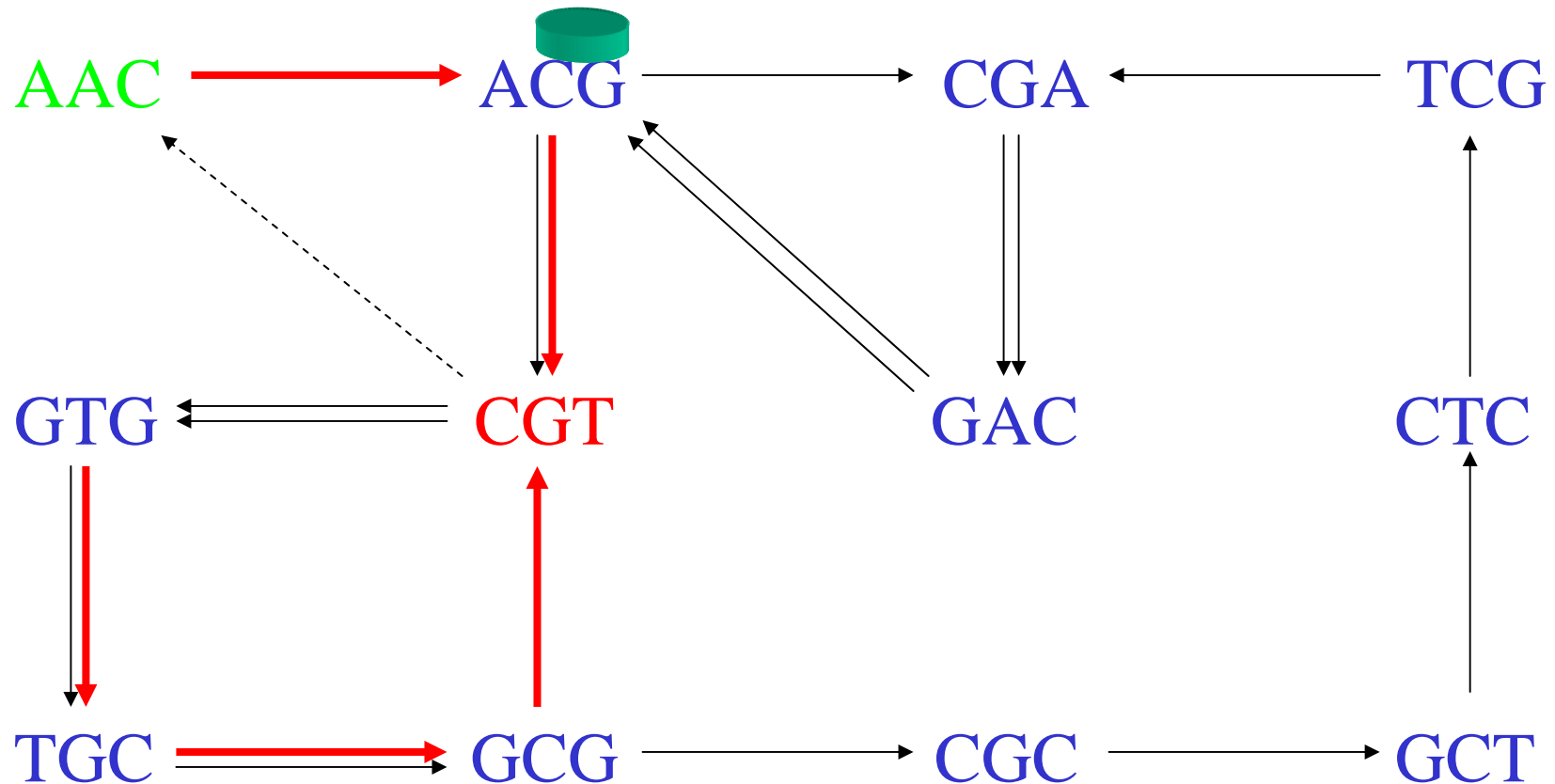
Génération en fréquences exactes



Engendrer un arbre couvrant aléatoire uniformément

[Aldous, Broder 90]
[Wilson 97]

Génération en fréquences exactes

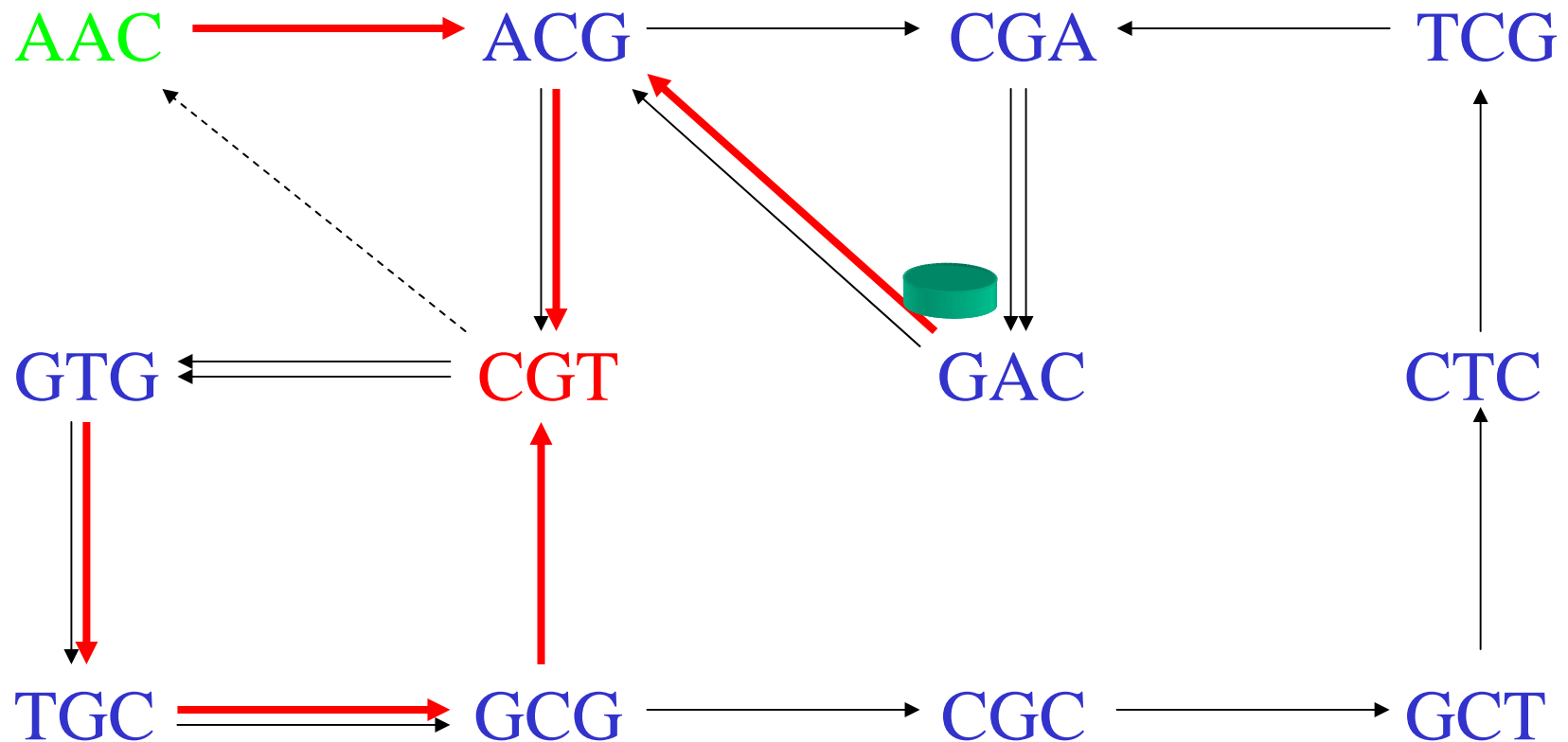


Engendrer un arbre couvrant aléatoire uniformément

[Aldous, Broder 90]

[Wilson 97]

Génération en fréquences exactes



Engendrer un arbre couvrant aléatoire uniformément

[Aldous, Broder 90]
[Wilson 97]

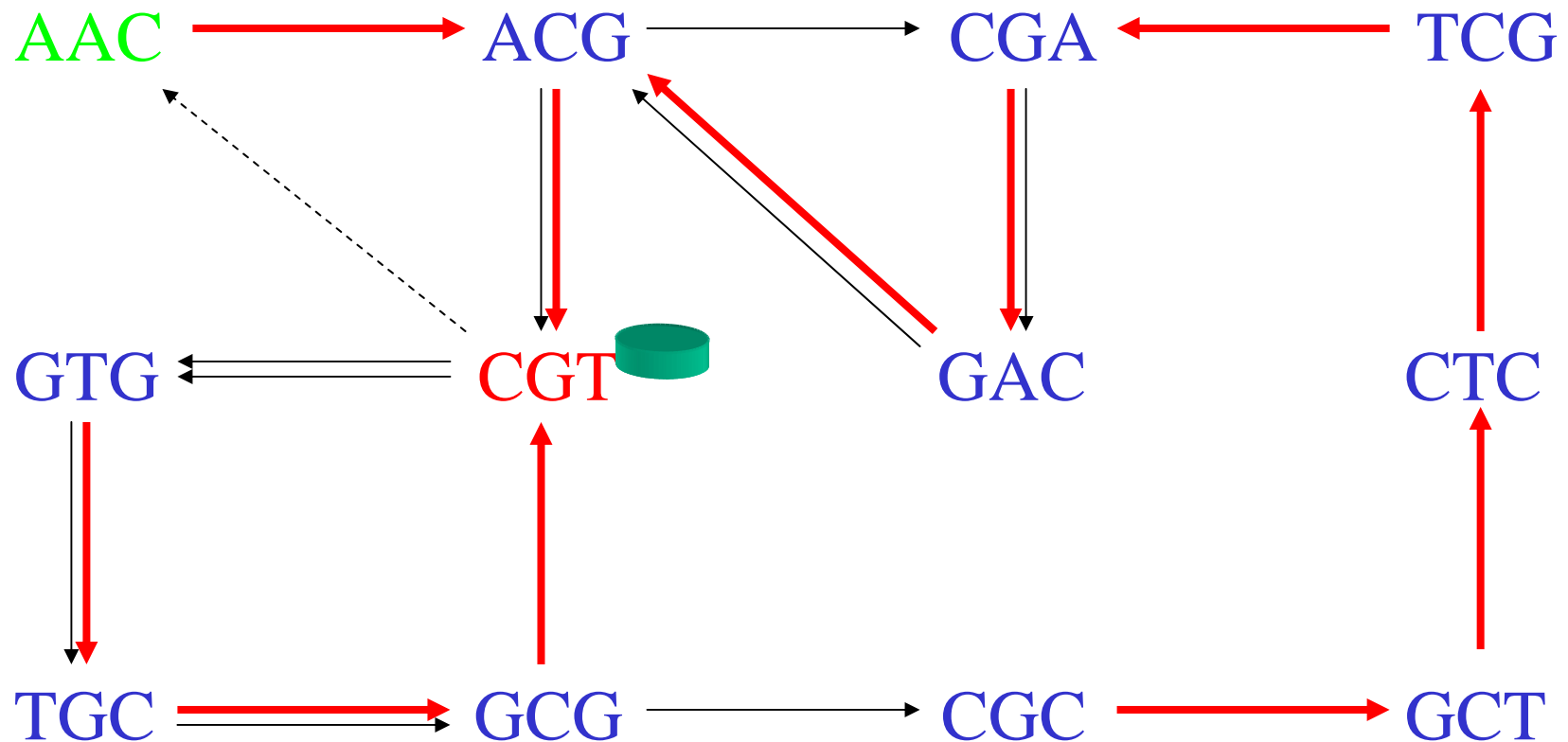
Génération en fréquences exactes

• • •

Engendrer un arbre couvrant aléatoire uniformément

[Aldous, Broder 90]
[Wilson 97]

Génération en fréquences exactes



Engendrer un arbre couvrant aléatoire uniformément

[Aldous, Broder 90]
[Wilson 97]

Génération en fréquences exactes

Algorithme.

Partir du sommet final

Tant qu'on n'a pas un arbre couvrant :

 Choisir uniformément un anti-arc adjacent a et le traverser.

 Si a n'appartient pas à l'arbre et n'y ajoute pas de cycle,
 l'ajouter à l'arbre.

Complexité moyenne : $O(\#\text{sommets}^2 \times \#\text{arcs})$.

Vers des modèles statistico-syntaxiques

Enrichir les modèles par plusieurs types de propriétés des séquences biologiques considérées, pour **affiner les résultats** de la comparaison biologique/aléatoire.

→ Ajouter aux paramètre statistiques classiques des **paramètres structurels** (syntaxiques).

Deux types d'approches :

- Approches analytiques
- Approche expérimentale

Variants des sites de polyadénylation des ARNm

UCCAACAUCAUCAGCCCAGCCCACCCACUGGGU**AAUAAA**AGUGGUUUGUGG
UAACUUCUUUUAGUAGUUGAUGUGGAAACAUUUUAAGUGAAUUUGUC
GUUUUGUGUUUUAUCCAACUUUUGUGCAUUAUAAAAGUAUGUCAUGGC
CUUUUCCCUCCCUGGUGCUCAUUGGAUCUGAGUAGAGUCUGGGGGAGGG
AUCACUGUAAUUAUUAUUAUUCAC**AAUAAA**UGGGACCUGUGCACAGG
GACCCAGAUGGGAUGUUCGGAUCGGUUUGUA**AUUAAA**CCUGGGAAUGGCC
GGAUACACAAAUAAGUCAGUAAAAUACAUA**AAUAAA**AACAUAAACCUGC
CAGGAGGGGAACGUGGUAAAACCCAAGAC**AUUAAA**UCUGCCAUCUCAGGC
UUUUUUGUUUCAGUACCAGAGGCACUGACUUC**AAUAAA**GUUUUAUUUAUAC
GAACUCUGCCCUGCCUGGGACUCUAAAAUUCUGA**UUAAA**AGGGUUUUGC
AAAAAUAAUGAAUGAAAUCAACAGAUG**AAUAAA**UGGUUCUUUAAGUG
AGGCCAGCCAGCUUGGGAGCAGCAGAGA**AAUAAA**CAGCAUUUCUGAUGCC
ACCGGGGAAGCCGUCAGCUGCUGUGAC**AAUAAA**ACCUGCCCCGUGUCUGG
UUGAAAUGAAUGCUUUAUCUGUGUUUJCUGUA**AAUAAA**AGAGUGCAAU
GGUCUGCUCCCCACCCUGCCUCGGAAG**AAUAAA**AGAGAAUGUAGUUCCU
UGUUAAGUAGUUGUUUUAAAACUU**AAUAAA**AUAAUUCUUUUCCUGUGG
GAAAGUUAAGAUUACUUGAGGUGUUAA**AAUAAA**UUUUUCAUUCAGACU
ACUACCAUCUCUCUAAAACGAGAACAGGUAGCAAUGAUGAAAAG
UUUAACCGUAUGUAAACUUGGUUCUA**AUUAAA**AAAAAAUUUCUUUUUCC
GUUAAAUGUACUUGUCUAAAACACUAAGUGU**AAUAAA**AACGGCUUGAG
GCAAGAGUUCGAAUAGAAAGUUAUGUACCAAGUAACCAUUUCAGCUGC
AUCUAGUUUCCUAUGGAAAAGAAGAUGGAGAACAGGAGAGACGACAGA
ACUGUAAAAGAGAAGUAUUUUUGCUCCUUGUAUAAAAGUAAUUAUAAA
UCUGAGUACCCGCCGUUCACAGGCUGAGGUCCAGGCCUGUGGUUUGUA
UUGAUAAAUCUAGAAAAGCAUUCAUACAAUACAGAAUUCAAAUAUUGC
UUUUUUUCCUUUUUUGCUACUGCAAACGAUGCUUA**AAUAAA**AUGGUCCUUAUC
UCUAUUUUUUCUCUCCUUUUCUUUCUUC**AAUAAA**AGA**AUUAAA**AACCC
GCUGGGGAGGGGGAGGGGAACUUUGUUGGG**AAUAAA**CUUCACUCUGUGG
UGCAUCUUCAAAGCUAUUCGA**AAUAAA**CACGAAAUUUACAGUUUGGCC
AGAUUAUUGUGAUCCCAUCUACUCCCC**AAUAAA**AGCAAGGCUUGUCCGAC
UUCUACUUGUUCUAAAACAAUCUGUCCACAAUAAAACUUAAGUAAU

(Base : étude de [Beudoing *et al.* 2000])

Motif	Rang non conditionné	Rang conditionné
AAUAAA	1	1
AAAUA	2	1300
AUAAA	3	404
AUAAAG	4	34
CAAUAA	5	167
AUAAA	6	4078
AAAAUA	7	420
UUUUU	8	2
UAAAUA	9	211
AUUAAA	10	3

Conditionnement par un motif surreprésenté

Combien de fois attend-on un motif H_2 sachant qu'un autre motif H_1 est surreprésenté ?

Soit

$$T(z, u_1, u_2) = \sum_{n \geq 1, k_1 + k_2 \geq 0} Pr(X_{1,n} = k_1 \text{ et } X_{2,n} = k_2) z^n u_1^{k_1} u_2^{k_2}$$

Alors

$$\begin{aligned} E(X_{2,n} | X_{1,n} = k_1) &= \frac{\sum_{k_2 \geq 0} k_2 Pr(X_{1,n} = k_2 \text{ and } X_{2,n} = k_2)}{Pr(X_{1,n} = k_1)} \\ &= \frac{[z^n u_1^{k_1}] \frac{\partial T}{\partial u_2}(z, u_1, 1)}{Pr(X_{1,n} = k_1)}. \end{aligned}$$

Un autre résultat de grandes déviations

[Régnier, AD 03]

Si H_1 apparaît k fois dans une séquences de longueur n , avec $k > E(X_{1,n})$, alors

$$E(X_{2,n}/X_{1,n} = k) \approx k \frac{D_{1,2}(z_a) \times D_{2,1}(z_a)}{D_1(z_a)(D_1(z_a) + z_a - 1)}$$

où

$$D_{i,j}(z) = (1 - z)A_{i,j}(z) + P(H_j)z^{|H_j|},$$

z_a est la plus grande racine positive de l'équation

$$D_1(z)^2 - (1 + (a - 1)z)D_1(z) - az(1 - z)D'_1(z) = 0$$

et $a = k/n$.

Need for more constrained models (2)

Gène	aaacgt	aacgtg	aac.1.gtg	aactgt	aca.14.tgc	aca.15.gca	aca.6.gca	...	tgccaa
GDH3	0	0	0	4	0	0	0	...	2
YBR043C	2	0	0	0	0	0	0	...	0
APG14	0	0	0	4	0	0	0	...	2
AGP1	0	0	2	2	0	0	0	...	2
CHA1	0	0	2	2	0	0	4	...	2
UGA4	4	0	0	0	0	0	0	...	2
PRB1	0	0	2	0	0	0	0	...	4
CAN1	0	2	0	0	0	0	2	...	0
GAT1	0	0	0	0	2	0	0	...	0
UGA1	0	0	0	0	0	0	0	...	0
MEP1	2	0	0	0	0	2	0	...	0
YGR125W	0	2	4	0	0	2	0
DUR3	2	0	0	0	4	2	0	...	0
YHR029C	0	0	0	0	0	6	16	...	2
DAL1	2	0	0	0	4	6	0	...	0
DAL4	2	0	0	0	4	6	0	...	0
DAL2	0	0	0	0	0	2	0	...	2
...

95 genes, 44 motifs, 4 families

[van Helden 2004]

The constrained shuffling model

[Barth, Cohen, AD, Rivière 2004]

Biological sequence (reference):

$S = \text{TCACATCACGACATACACACG}$

#Occurrences of k Lets (k=4):

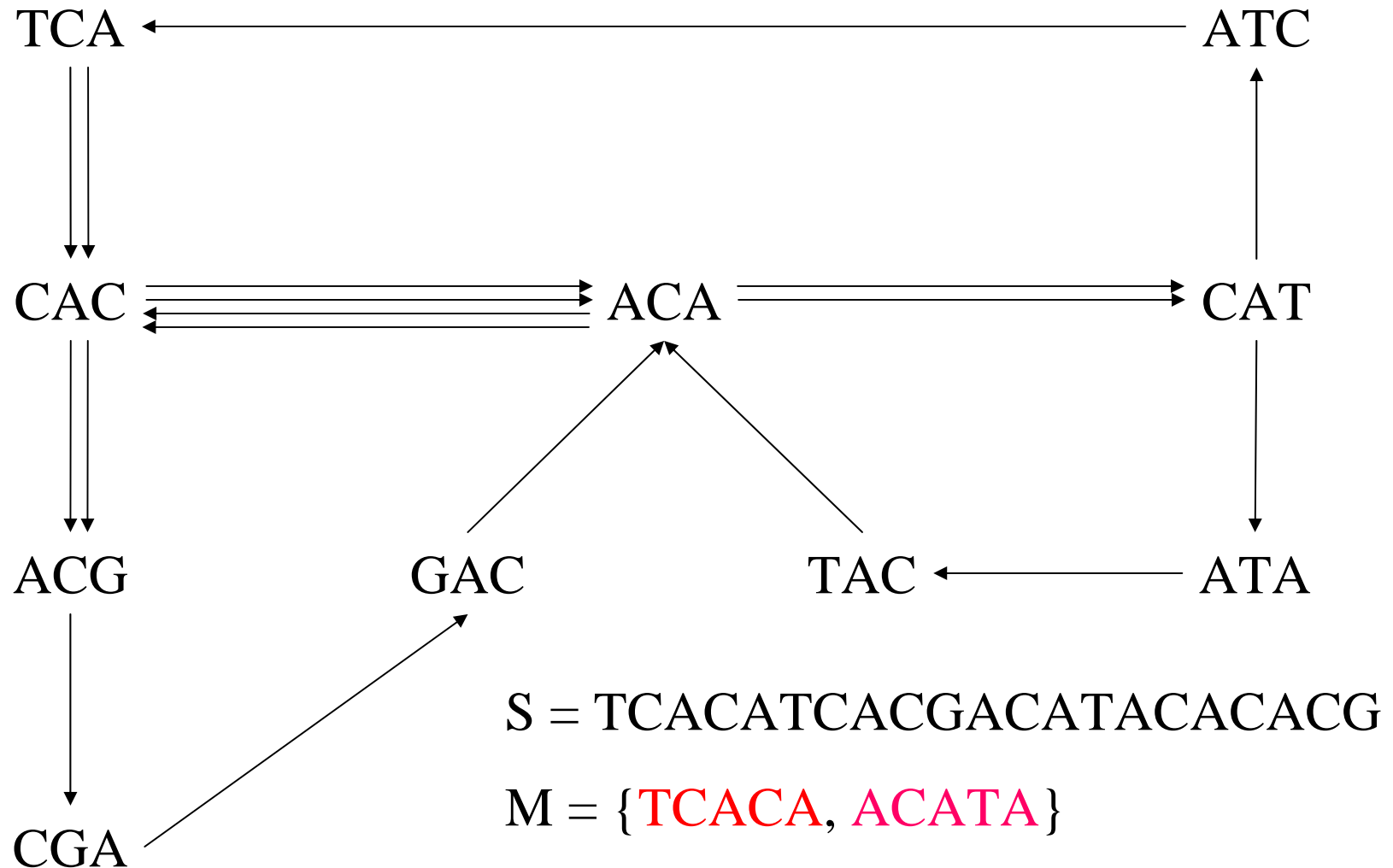
TCAC : 2	CACG : 2	ATAC : 1
CACA : 2	ACGA : 1	TACA : 1
ACAT : 2	CGAC : 1	ACAC : 2
CATC : 1	GACA : 1	
ATCA : 1	CATA : 1	

Multiset of motifs : $M = \{\text{TCACA}, \text{ACATA}\}$

Problem: generate uniformly random sequences

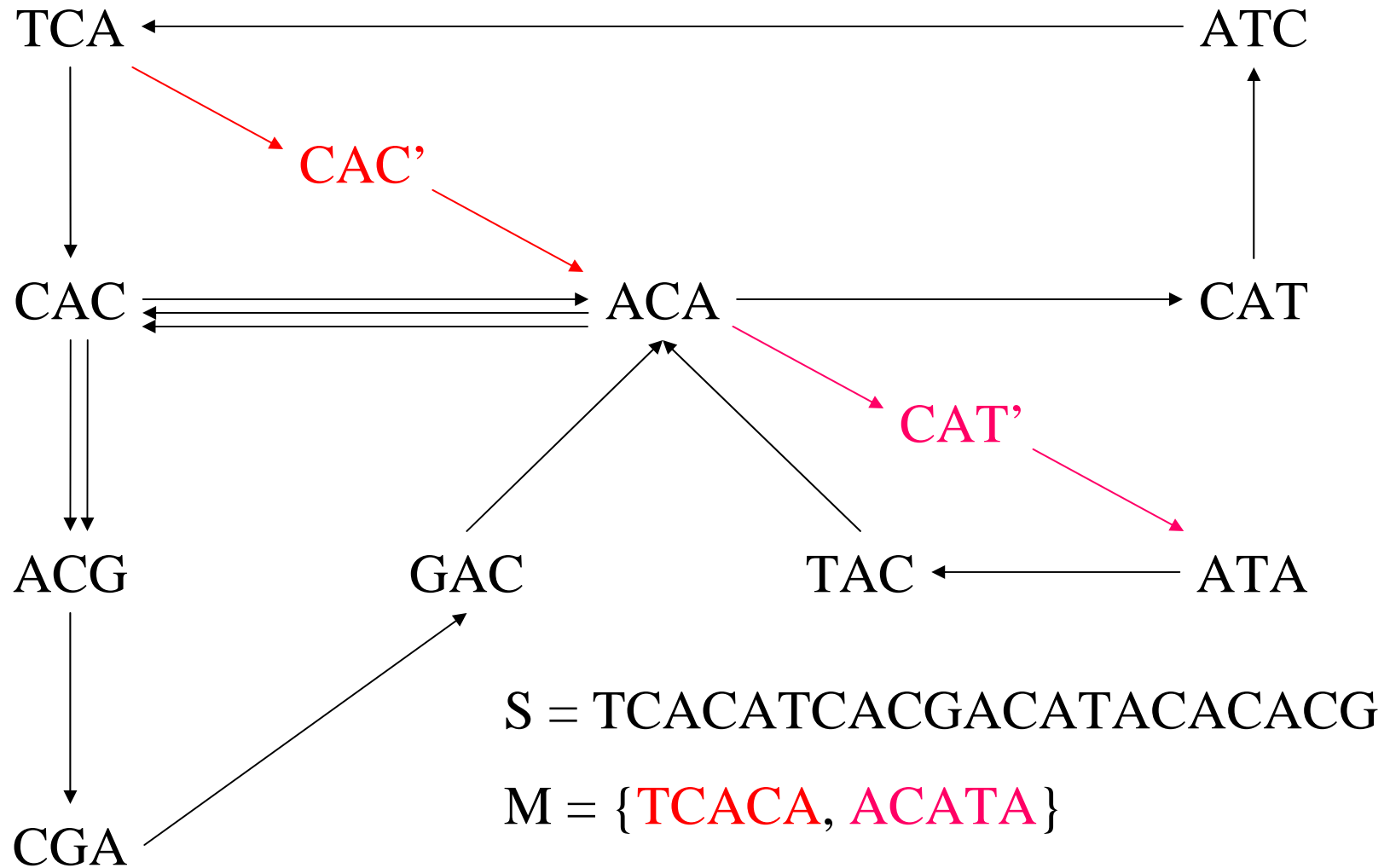
- which have exactly the same numbers of k Lets as S
- such that each motif of M appears at least as many times as its number of occurrences in M (without overlaps).

The constrained shuffling model



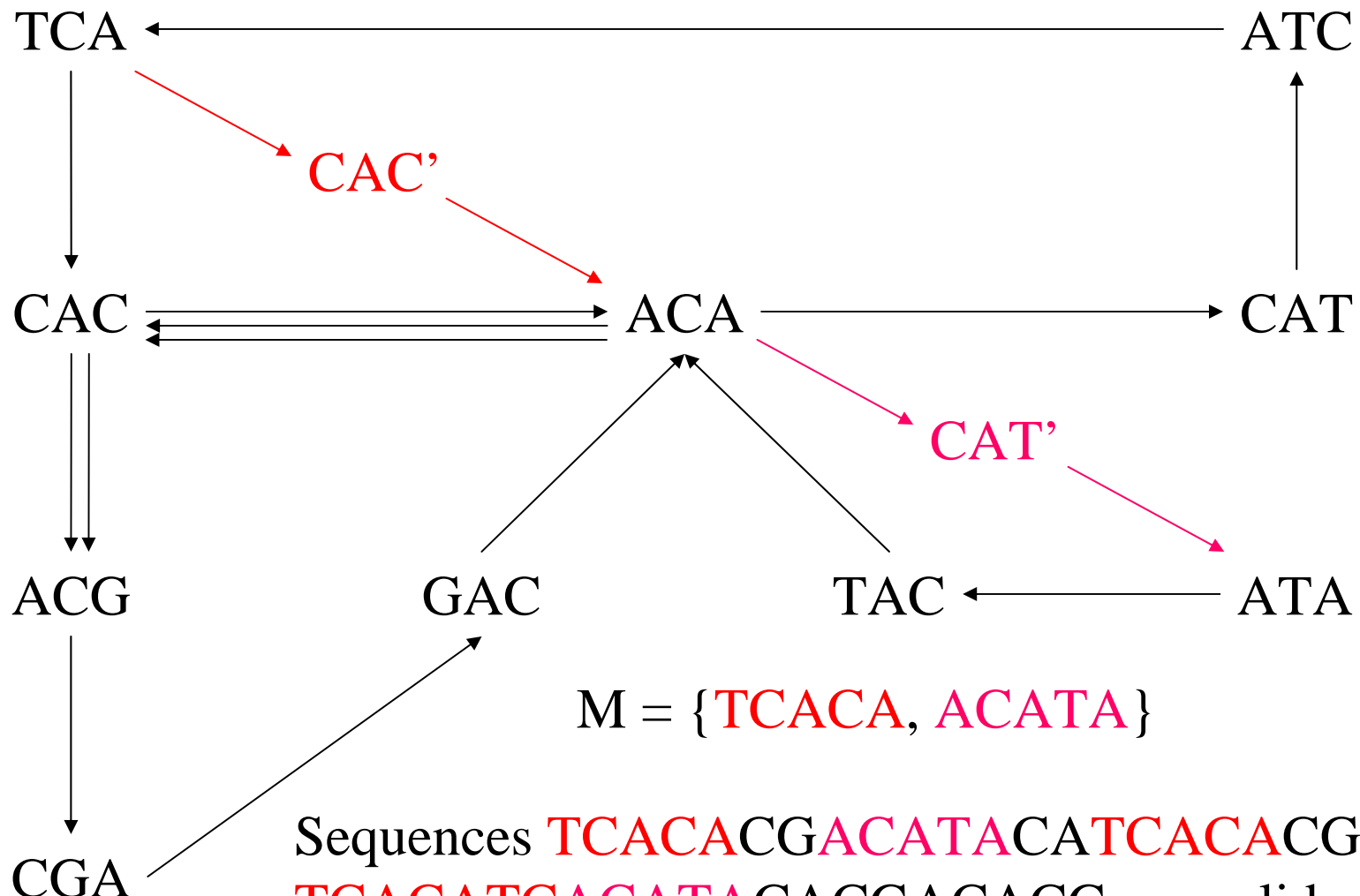
Sequence TCACGACAC**ACATA**CATCACG is not valid.

The constrained shuffling model



Sequence TCACGACACACATACATCACG is not valid.

Problem 1 : Motifs overlaps



Sequence **TCACGACA** is not valid, while it follows an Eulerian trail.

Problem 1 : Motifs overlaps

Problem :

Data :

- A multiset M of motifs on an alphabet X .
- A sequence S on X .

Question : Is S valid ?

Theorem : This problem is NP-complete.

Proof : reduction of 3DM.

Problem 1 : Motifs overlaps

Problem :

Data :

- A multiset M of motifs on an alphabet X .
- A sequence S on X , corresponding to an Eulerian trail in a constrained sequence graph with M as constraints.

Question : Is S valid ?

Theorem : This problem is NP-complete.

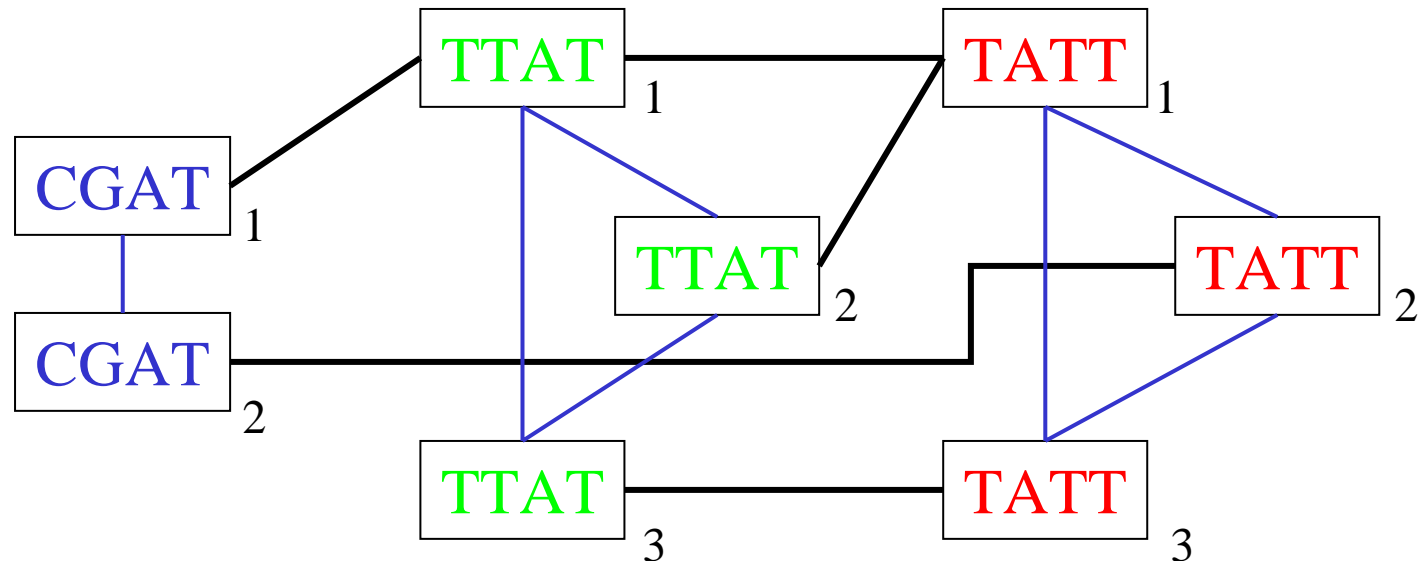
Proof : reduction of 3DM.

Problem 1 : Motifs overlaps

$S = \{ATTATCGATTATATTATCCGACGATATTCTATTAT\}$
 $M = \{\textcolor{red}{TATT}, \textcolor{blue}{CGAT}, \textcolor{green}{TTAT}\}$

Finding a maximal independent set in the following graph :

- Occurrences of same motifs form cliques (blue edges)
- Two occurrences are connected if they overlap (black edges)

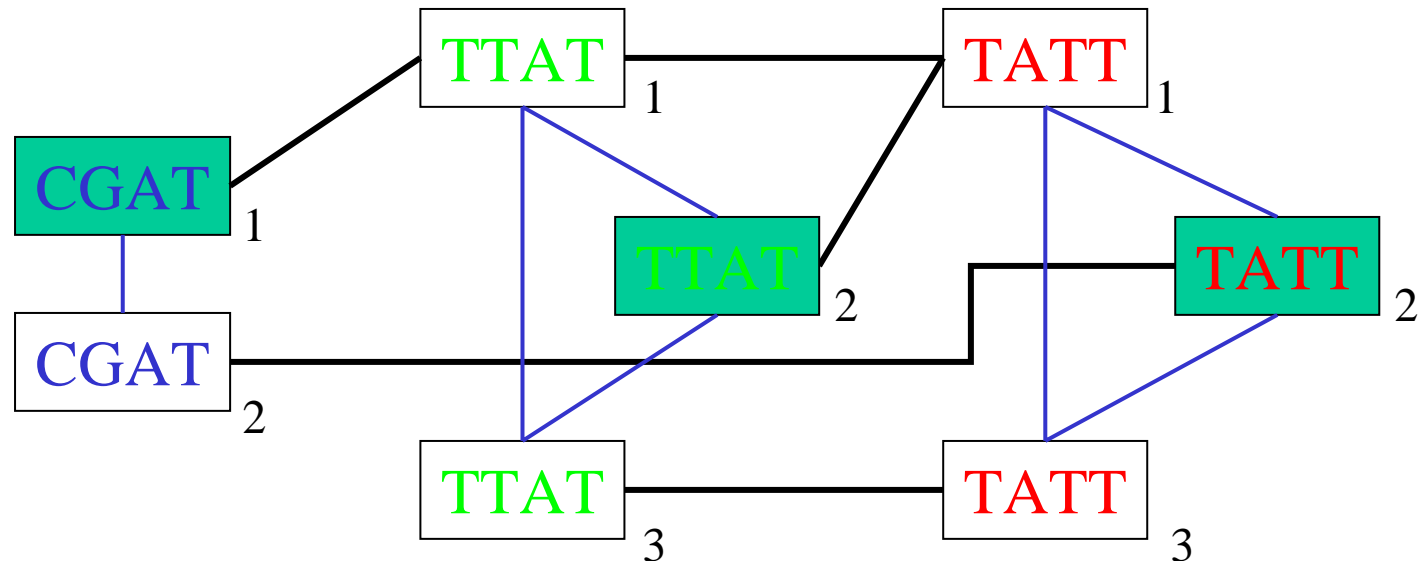


Problem 1 : Motifs overlaps

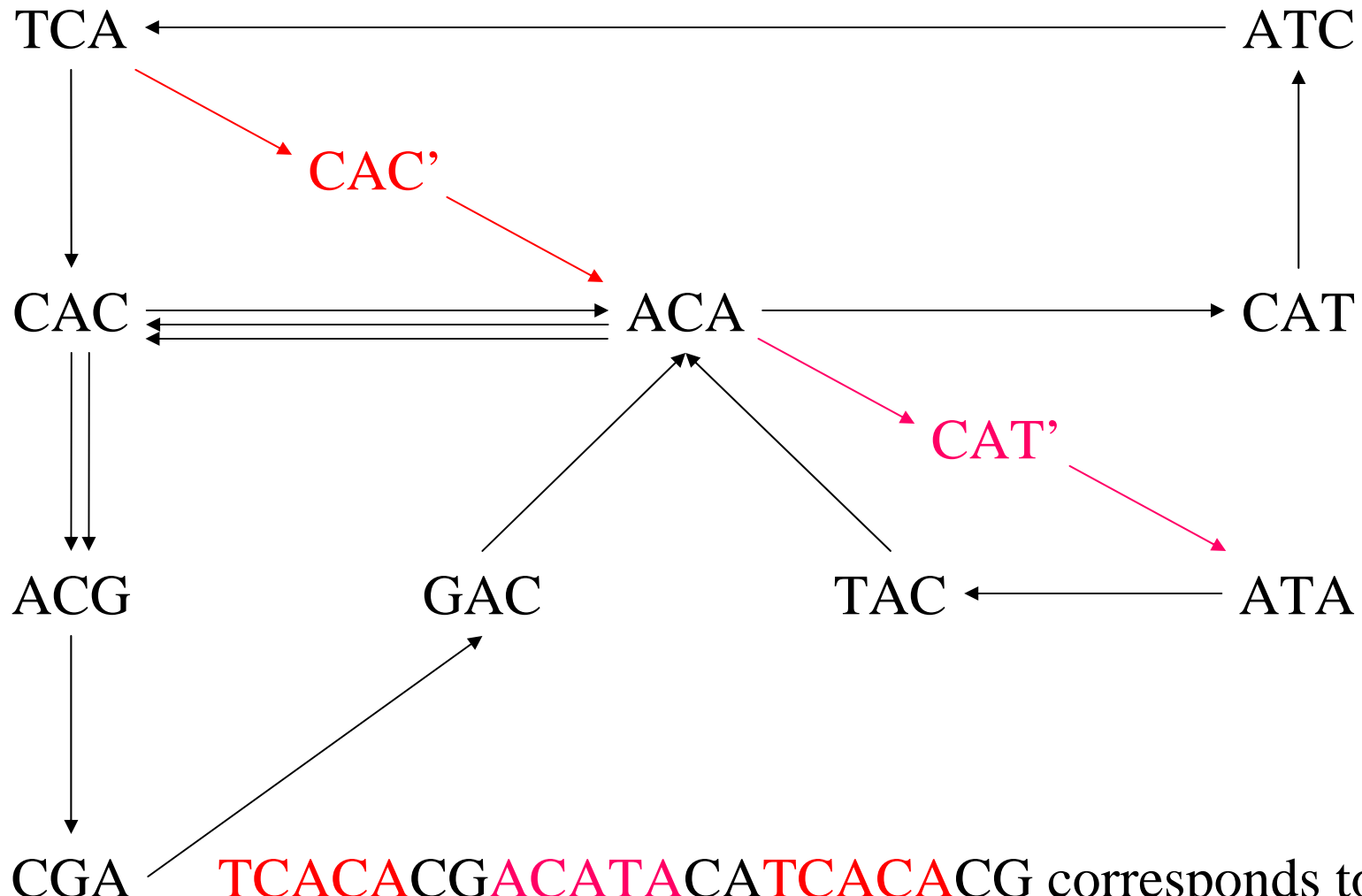
$S = \{ATTAT[CGATT]ATATT[ATT]CCGACGA[TATT]CTATTAT\}$
 $M = \{\textcolor{red}{TATT}, \textcolor{blue}{CGAT}, \textcolor{green}{TTAT}\}$

Finding a maximal independent set in the following graph :

- Occurrences of same motifs form cliques (blue edges)
- Two occurrences are connected if they overlap (black edges)



Problem 2 : Non-uniformity



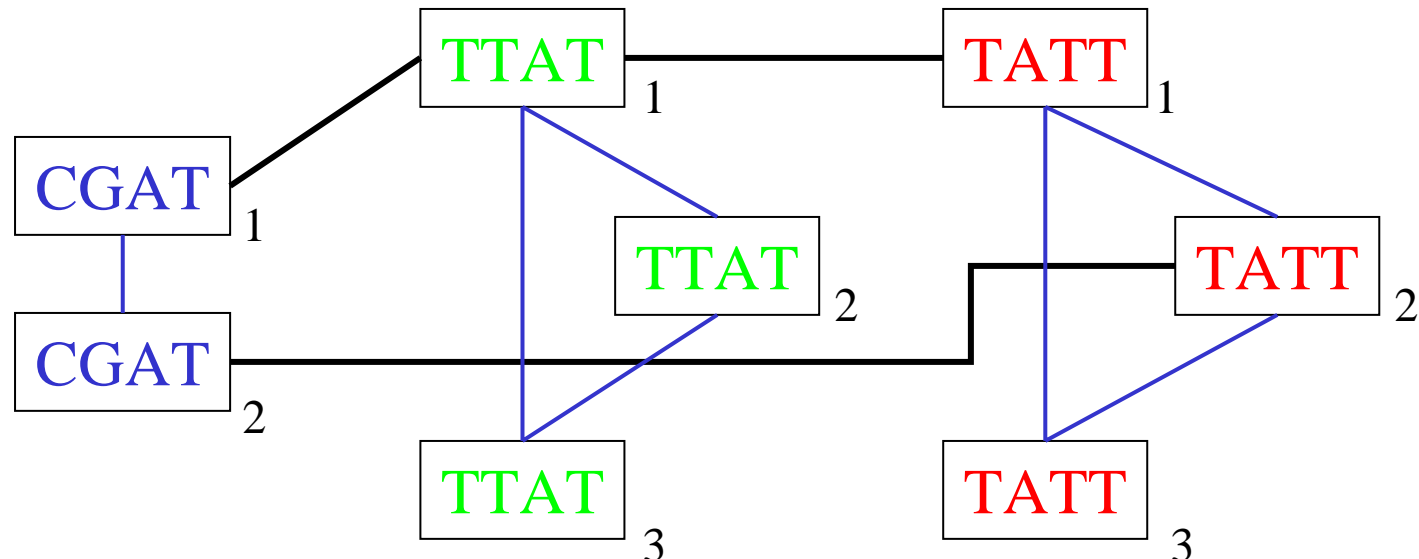
TCACACGACATACATCACACG corresponds to **two** Eulerian trails, while TCACACATCACGACATAACACG corresponds to **only one**.

Problem 2 : Non-uniformity

$$S = \{ATTAT\textcolor{blue}{CGATTATATTAT}CCGA\textcolor{blue}{CGA}\textcolor{red}{TATTCTATTAT}\}$$
$$M = \{\textcolor{red}{TATT}, \textcolor{blue}{CGAT}, \textcolor{green}{TTAT}\} \quad k=2$$

Counting maximal independent sets in the following graph:

- Occurrences of same motifs form cliques (blue edges)
- Two occurrences are connected if they overlap by at least $k-1$ letters (black edges)



Random generation algorithm (1)

1. Construct the constrained sequence graph G according to S , k and M .
2. Draw a random uniform Eulerian trail in G .
3. Verify if the corresponding sequence R is valid.
If not, goto 2.
4. Count the number t of Eulerian trails in G which correspond to R .
5. Accept the sequence with probability $1/t$,
or reject it and goto 2.

Experimental results

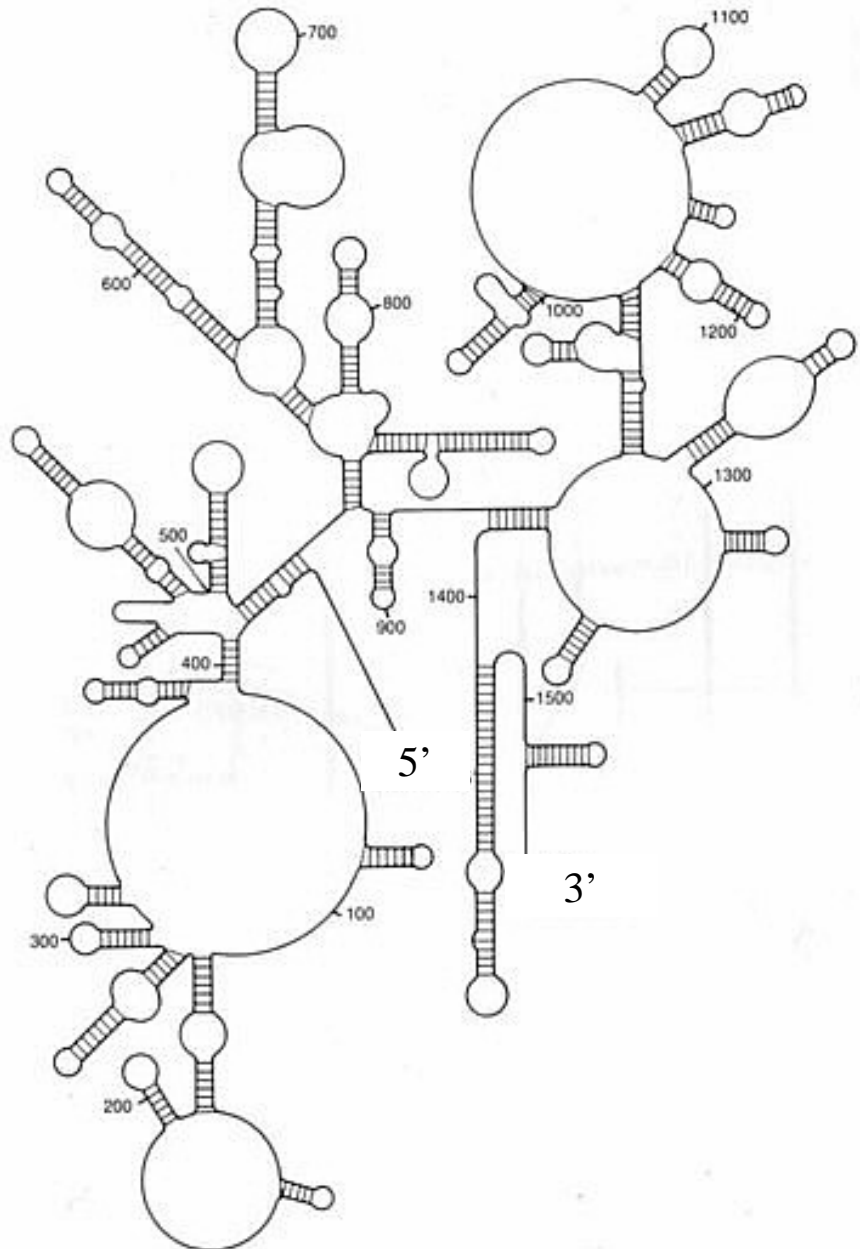
Experimental results :

- Works well in practice [tested up to $\text{length}(S)=50000$ and $\text{card}(M)=50$] when motifs of M are unlikely to appear many times in the sequences.
- Step 3 (test for valid sequence) is very fast in almost all cases.
- Steps 4 and 5 (counting and rejection) constitute the actual bottleneck when motifs are likely to appear many times in the sequences.

Random generation algorithm (2)

0. Divide M in two subsets : M_1 the set of unlikely motifs
 M_2 the set of likely motifs
1. Construct the constrained sequence graph G according to S , k and M_1 .
2. Draw a random uniform Eulerian trail in G .
3. Verify if the corresponding sequence R is valid over $M_1 \cup M_2$.
If not, goto 2.
4. Count the number t of Eulerian trails in G which correspond to R .
5. Accept the sequence with probability $1/t$,
or reject it and goto 2.

Contraintes structurelles : ARN



ARN 16S
E. coli

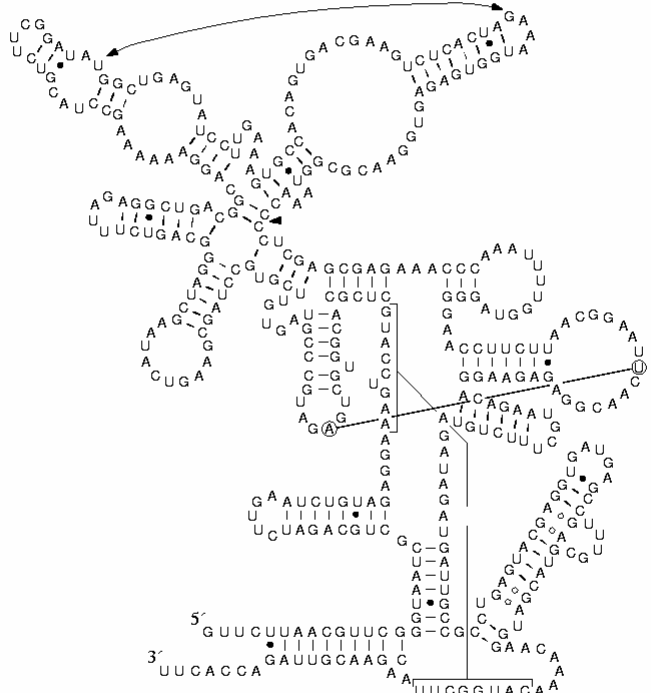
Comparaison de structures secondaires

[Dulucq, Tichit 2001]

Ribonuclease P RNA
Bacillus subtilis 168

Sequence : M13175, Reich, *et al.*, 1986 J. Biol. Chem. 261:7888
Structure : Harris, *et al.*, RNA (in press)

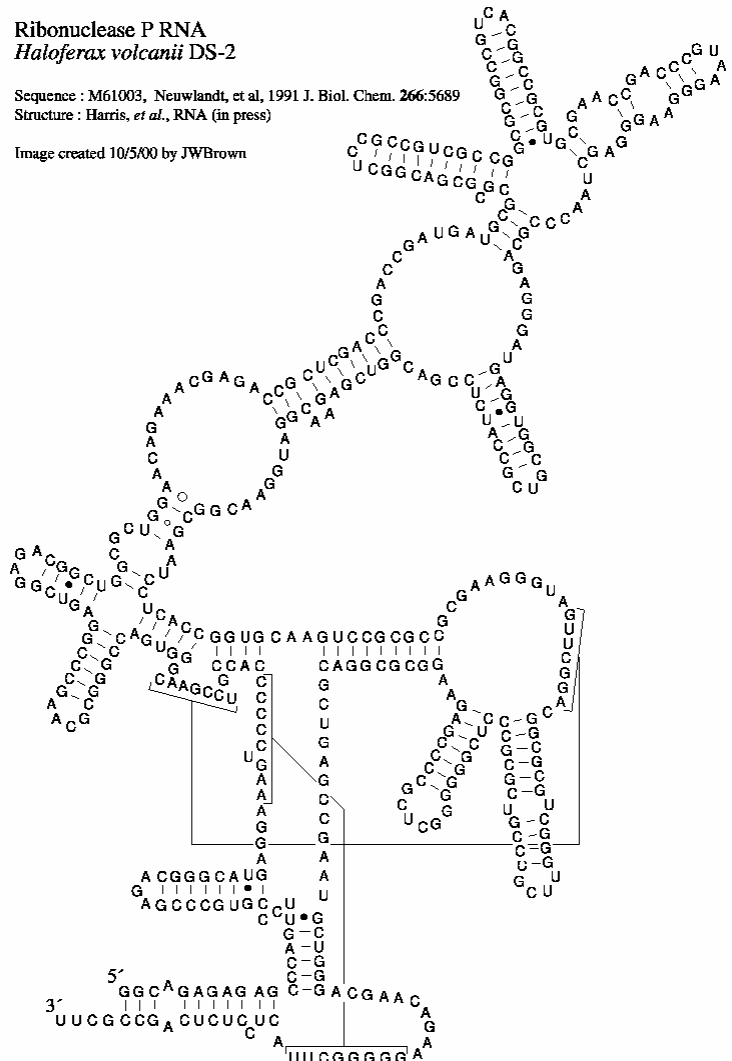
Image created 10/3/00 by JWBrown



Ribonuclease P RNA
Haloferax volcanii DS-2

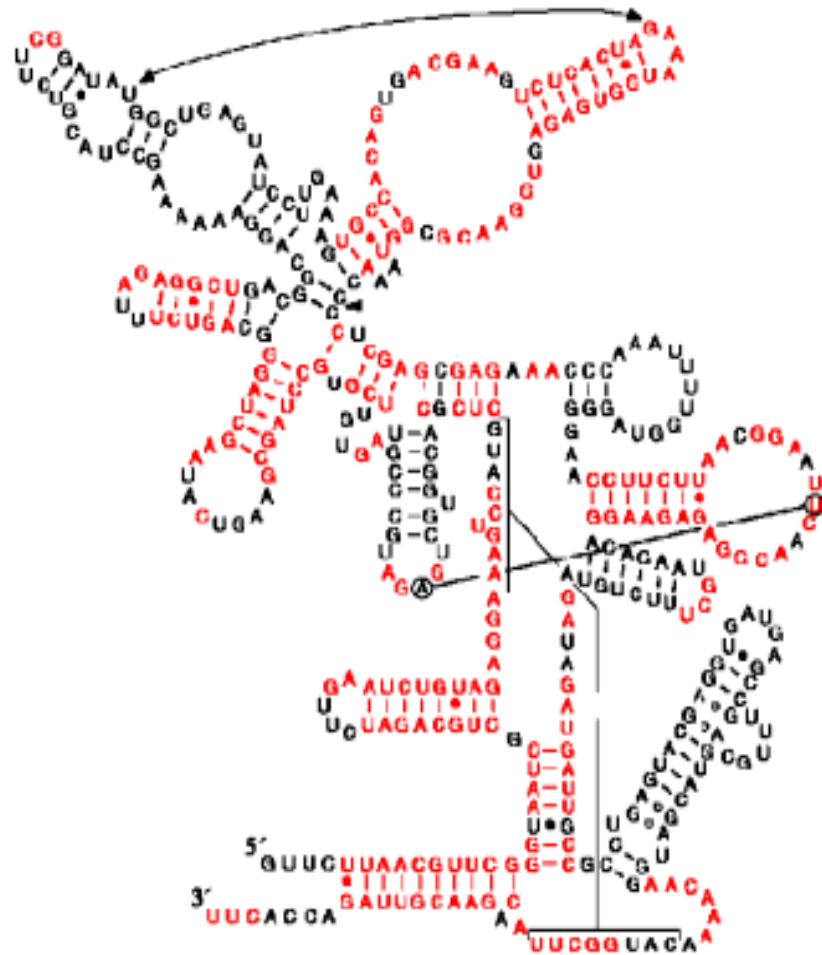
Sequence : M61003, Neuvald, *et al.*, 1991 J. Biol. Chem. 266:5689
Structure : Harris, *et al.*, RNA (in press)

Image created 10/5/00 by JWBrown

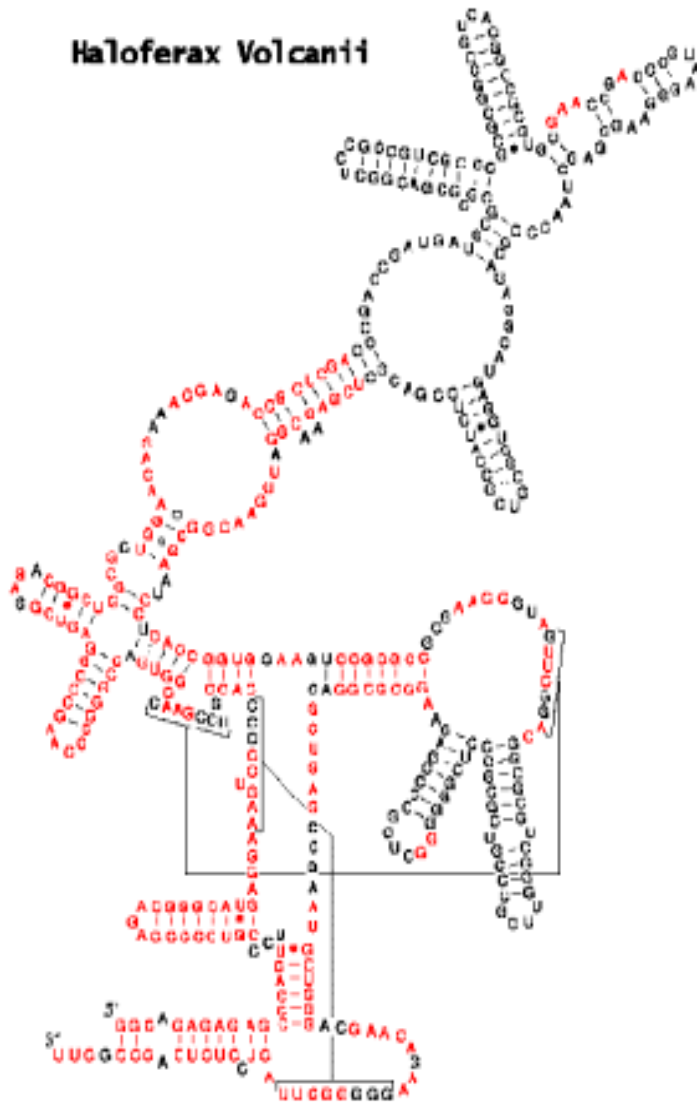


Comparaison de structures secondaires

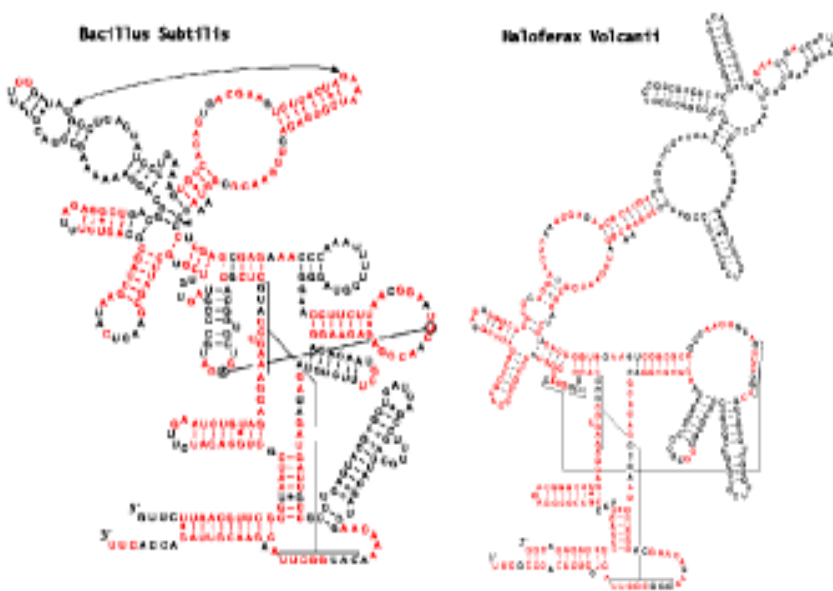
Bacillus Subtilis



Haloferax Volcanii



Comparaison d'ARN



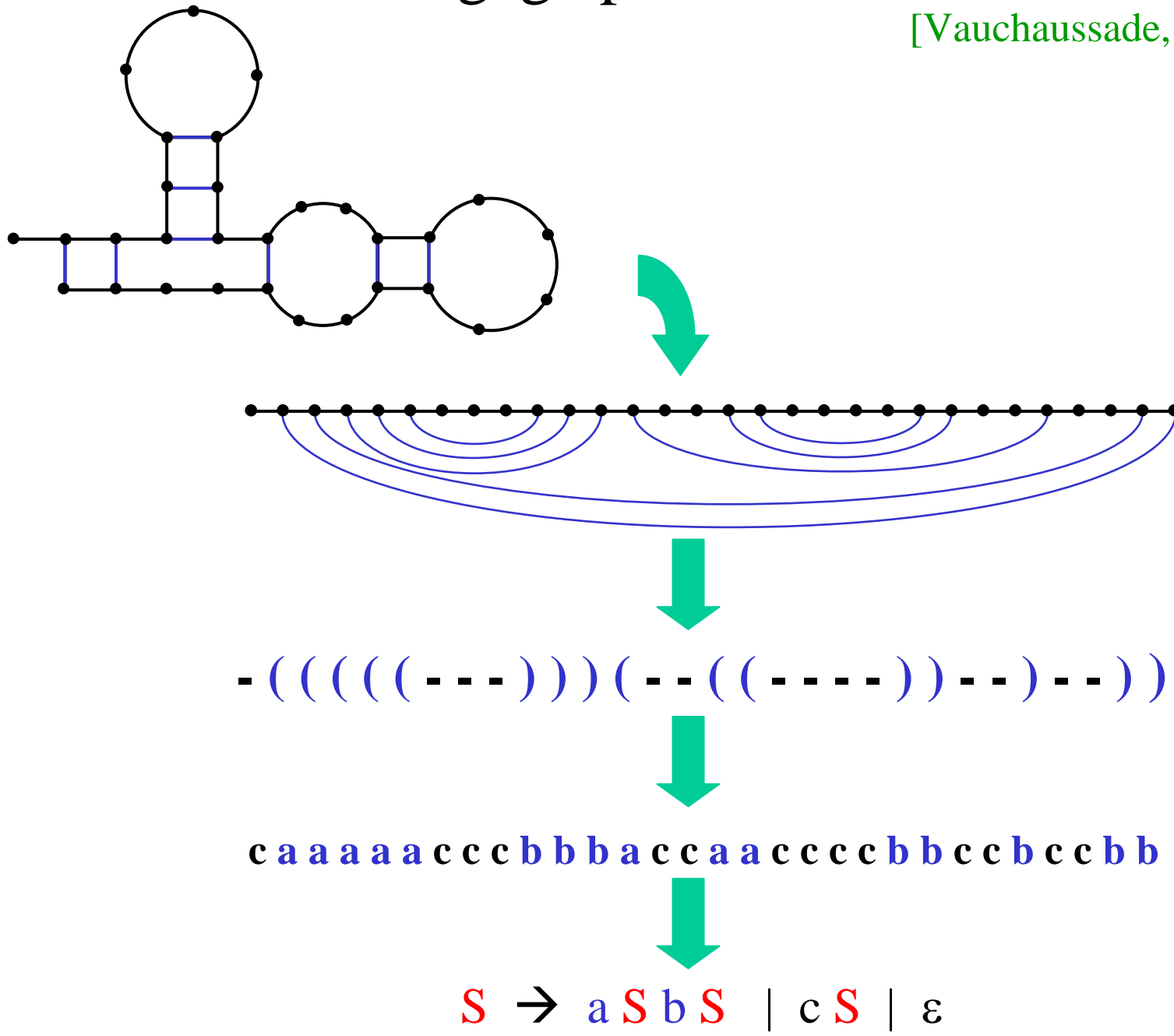
Objectifs : déterminer des paramètres biologiques pour la mesure de distance (matrices de substitution), étalonner et comparer les algorithmes, définir des seuils d'homologie.

→ Modèles combinatoires d'ARN et génération aléatoire.

Comment engendrer aléatoirement des structures d'ARN ayant des propriétés statistiques (nbe de boucles, longueurs des tiges...) similaires à celles d'une structure biologique de référence ?

Un langage pour les structures secondaires

[Vauchaussade, Viennot 85]



Une grammaire pour les structures secondaires d'ARN

$$S \rightarrow a S b S \mid c S \mid \epsilon$$

$S \rightarrow c S \rightarrow c a S b S \rightarrow c a b S \rightarrow c a b c S \rightarrow c a b c$

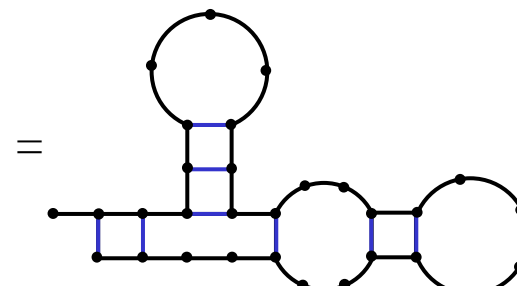
$S \rightarrow c S \rightarrow c a S b S \rightarrow c a a S b S b S \rightarrow c a a a S b S b S b S$

$\rightarrow c a a a a S b S b S b S b S \rightarrow c a a a a S b S b S b S b S$

$\rightarrow c a a a a a S b S b S b S b S b S \rightarrow c a a a a a c S b S b S b S b S$

$\rightarrow \dots$

$\rightarrow c a a a a c c c b b b a c c a a c c c c b b c c b c c b b$



Génération en fréquences moyennes

Entrée :

- Alphabet $X = \{x_1, x_2, \dots, x_k\}$,
- Langage L sur X .
- $n \in \mathbf{N}$, $\vec{v} = (v_1, v_2, \dots, v_k)$. $(1 = v_1 + v_2 + \dots + v_k)$

Sortie : un mot de L_n .

Contraintes :

- Tout mot de L_n peut être engendré.
- Les fréquences moyennes des lettres dans les mots engendrés respectent (asymptotiquement) le vecteur v :

$$\frac{1}{n} \sum_{w \in L_n} |w|_{x_i} p(w) \sim v_i \quad \forall i \in \{1, 2, \dots, k\}.$$

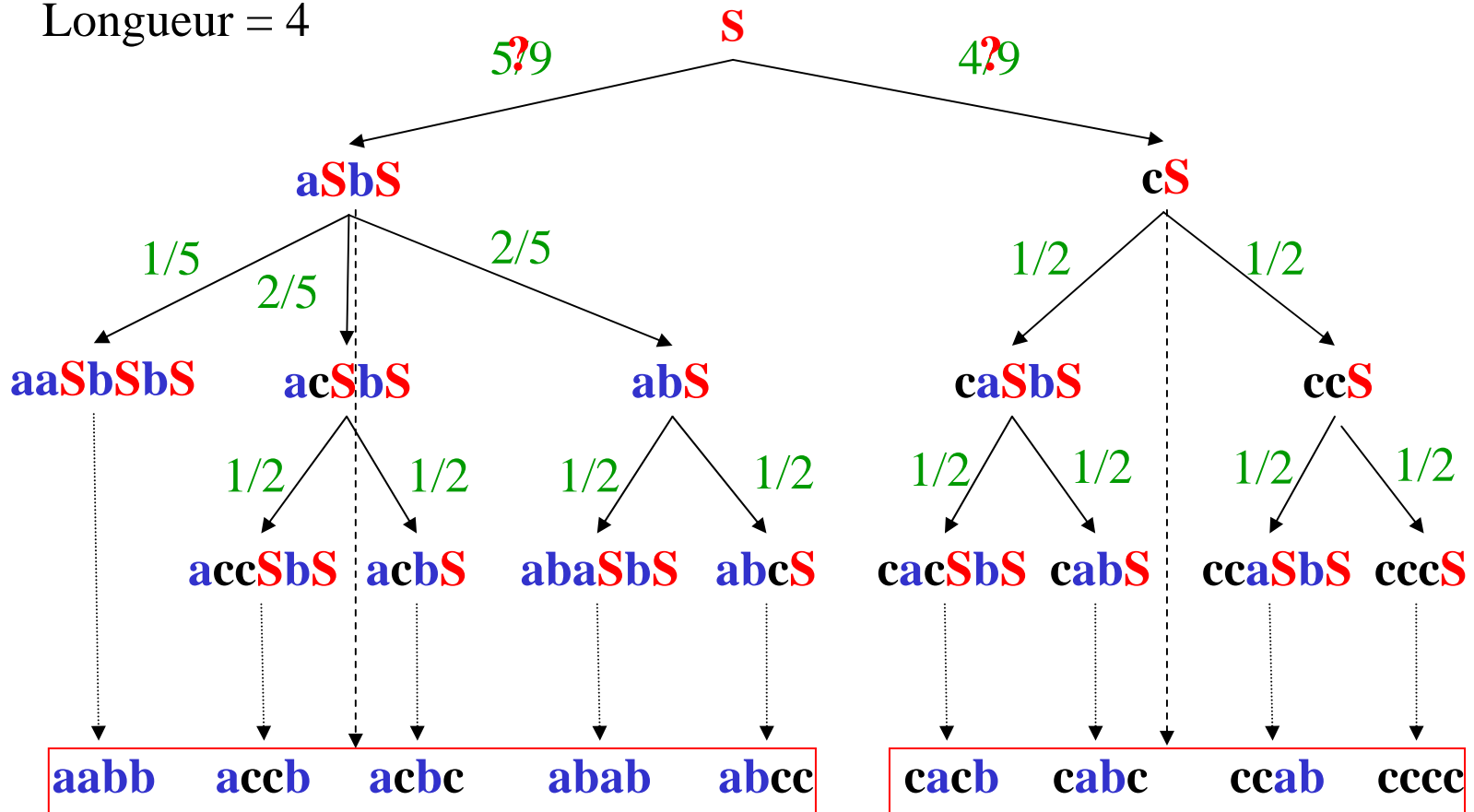
- Deux mots ayant la même distribution de lettres ont la même probabilité d'être engendrés.

Génération aléatoire uniforme

[Wilf 1977, Hickey, Cohen 1983, Flajolet, Zimmerman, Van Cutsem 1994]

$$S \rightarrow a S b S \mid c S \mid \epsilon$$

Longueur = 4



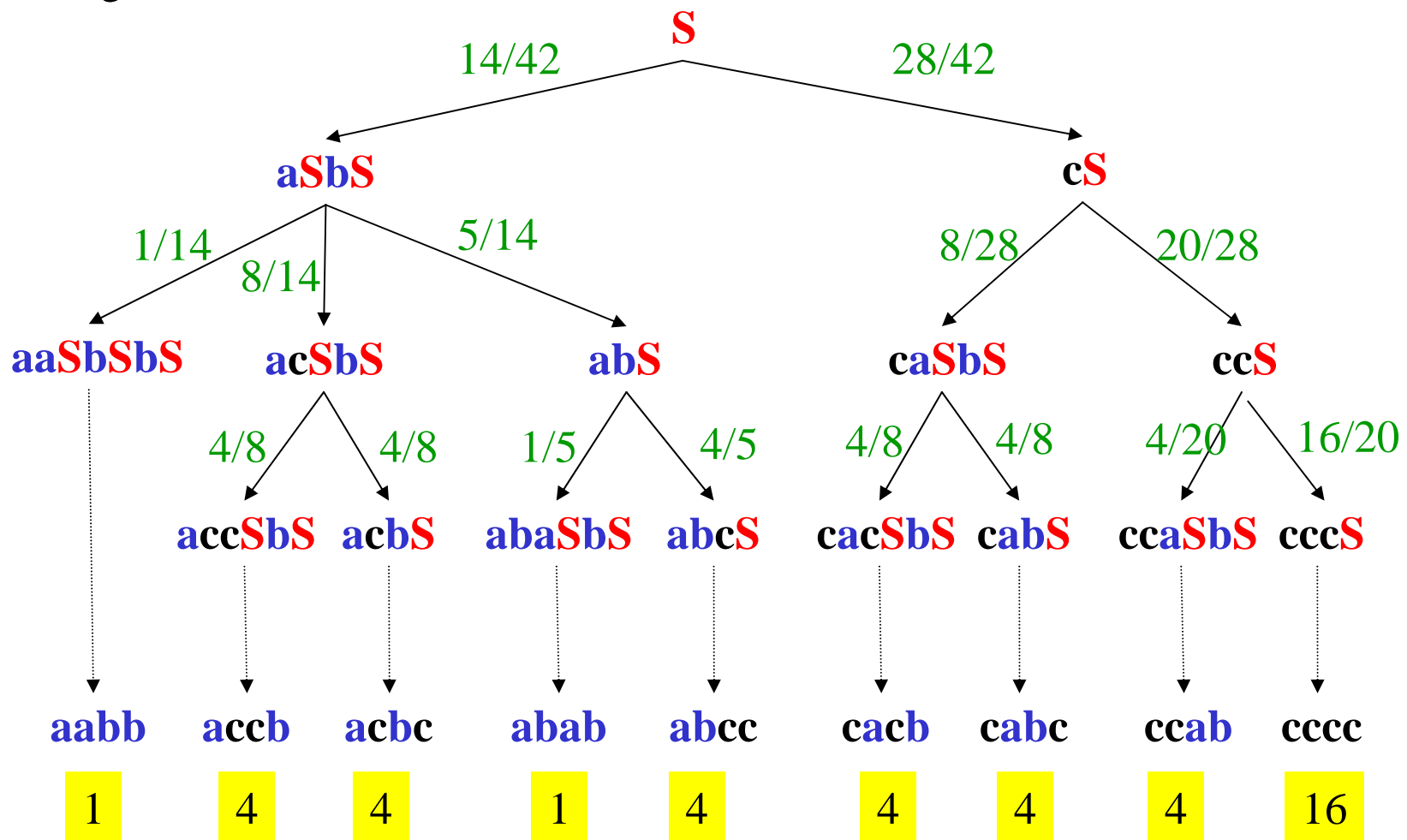
Génération aléatoire non uniforme contrôlée

[AD, O.Roques, M.Termier 2000]

$$S \rightarrow aSbS \mid cS \mid \varepsilon$$

+ de nucléotides non appariés : Poids $\pi(a) = \pi(b) = 1$
 $\pi(c) = 2$

Longueur = 4



Distribution des lettres

Séries génératrices :

$$L_{\pi}(t, \vec{x}) = \sum_{w \in L} \pi(w) t^{|w|} x_1^{|w|_{x_1}} \dots x_k^{|w|_{x_k}},$$

Distribution de la lettre x_i :

$$\mu_i(\pi) = \frac{\sum_{w \in L_n} |w|_{x_i} \pi(w)}{n \pi(L_n)} = \frac{[t^n] \Gamma_{\pi, x_i}(t)}{[t^n] \Gamma_{\pi}(t)}$$

avec

$$\Gamma_{\pi, x_i}(t) = \frac{\partial L_{\pi}(t, \vec{x})}{\partial x_i}(t, \vec{1}) \quad \text{et} \quad \Gamma_{\pi}(t) = t \frac{\partial L_{\pi}(t, \vec{x})}{\partial t}(t, \vec{1})$$

Calculs de fréquences et de pondérations

La pondération π étant donnée, quelle est la fréquence moyenne μ_i de la lettre x_i ?

Soit $f_\pi(t, x_1, x_2, \dots, x_k) = \sum \pi(w) t^{|w|} x_1^{|w|_{x_1}} x_2^{|w|_{x_2}} \dots x_k^{|w|_{x_k}}$

Alors $\mu_i(\pi) = \frac{[t^n] \Gamma_{\pi, x_i}(t)}{[t^n] \Gamma_\pi(t)}$ où $\Gamma_{\pi, x_i}(t) = \frac{\partial f_\pi(t, x_1, x_2, \dots, x_k)}{\partial x_i}(t, 1, 1, \dots, 1)$
et $\Gamma_\pi(t) = t \frac{\partial f_\pi(t, x_1, x_2, \dots, x_k)}{\partial t}(t, 1, 1, \dots, 1)$

Les fréquences des lettres étant données, quelle doit être la pondération π ?

- Cas rationnel fortement connexe : résoudre un système d'équations algébriques.
- Cas algébrique : à traiter...

TYPE = GRAMMAR

SYMBOLS = LETTERS

RULES =

S ::= A A A S U U U S;

S ::= A A A S U U U;

S ::= d T G;

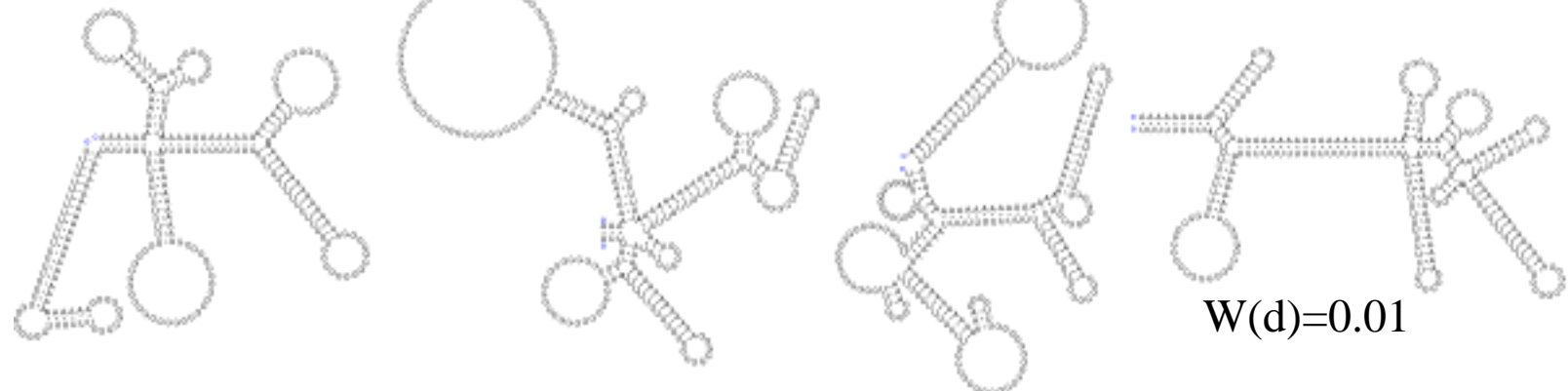
T ::= G T;

T ::= G G G;

WEIGHTS =

d 0.1

W(d)=1



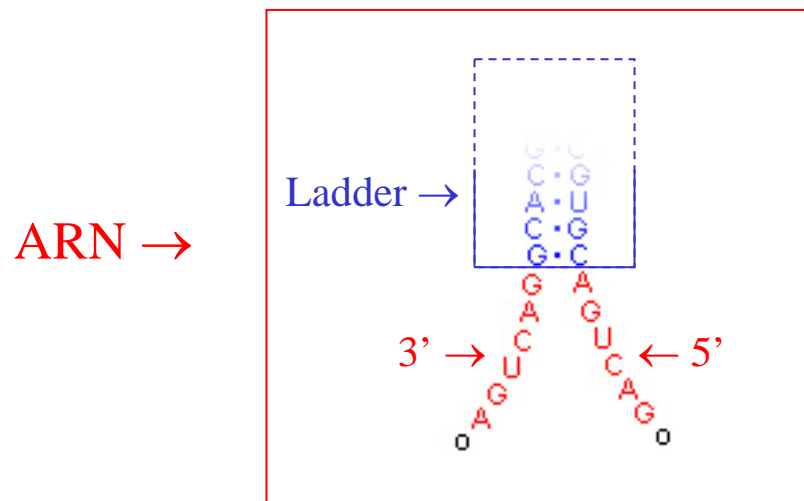
W(d)=0.01

Une grammaire pour la structure secondaire d'ARN

(Inspirée de Waterman 78)

ARN → 3' Ladder 5'

$$3' \rightarrow t_3 \ 3' \mid \varepsilon \quad 5' \rightarrow t_5 \ 5' \mid \varepsilon$$

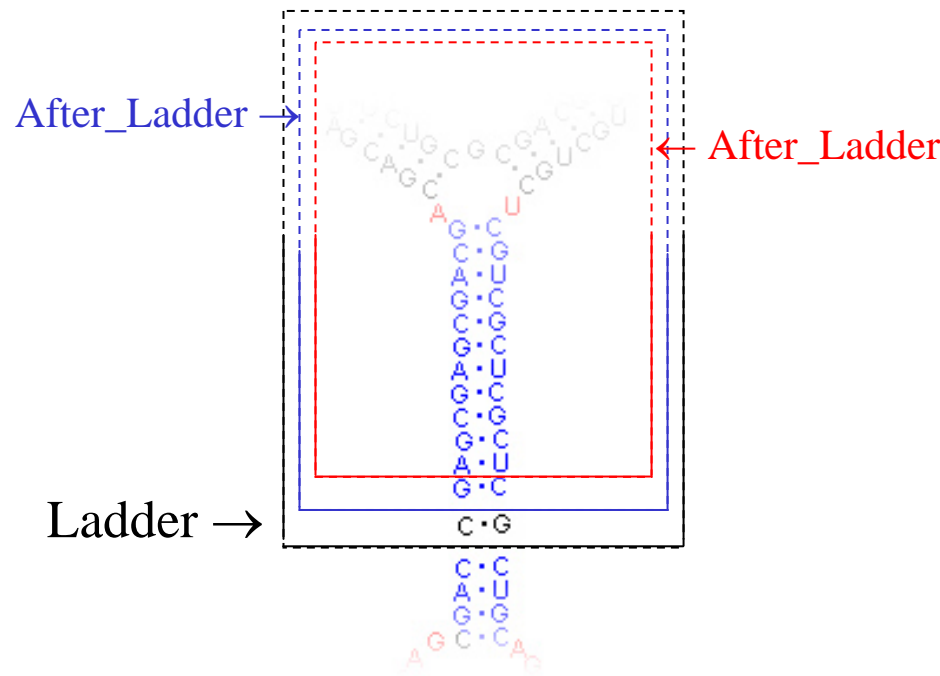


Une grammaire pour la structure secondaire d'ARN

ARN → 3' Ladder 5'

Ladder → a After_Ladder b

After_Ladder → a After_Ladder b



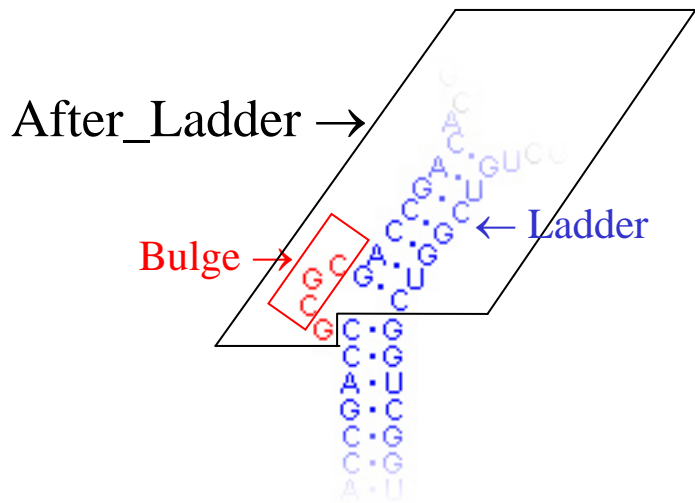
Une grammaire pour la structure secondaire d'ARN

ARN → 3' Ladder 5'

Ladder → a After_Ladder b

After_Ladder → a After_Ladder b

| c Bulge Ladder Bulge → c Bulge | ε



Une grammaire pour la structure secondaire d'ARN

ARN → 3' Ladder 5'

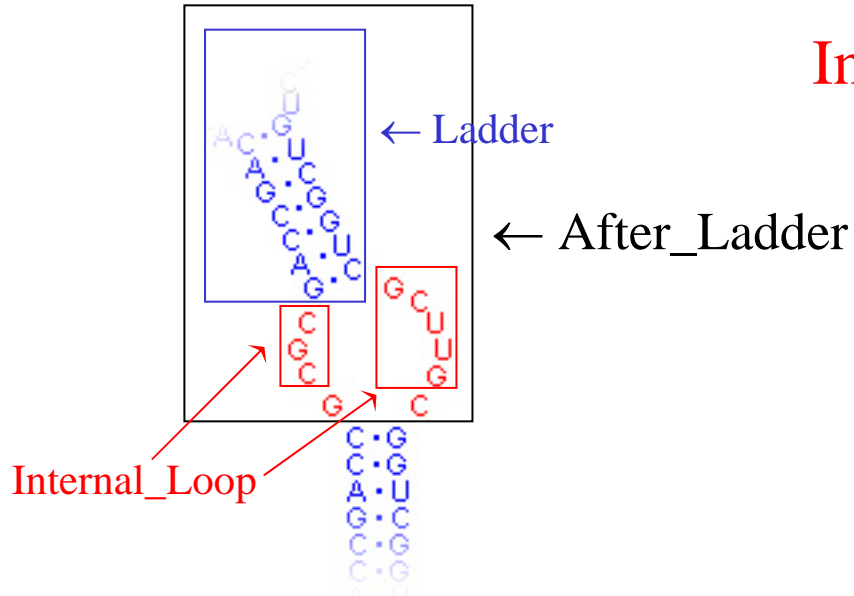
Ladder → a After_Ladder b

After_Ladder → a After_Ladder b

| c Bulge Ladder | Ladder c Bulge

| d Internal_Loop Ladder Internal_Loop d

Internal_Loop → d Internal_Loop | ε



Une grammaire pour la structure secondaire d'ARN

ARN → 3' Ladder 5'

Ladder → a After_Ladder b

After_Ladder → a After_Ladder b

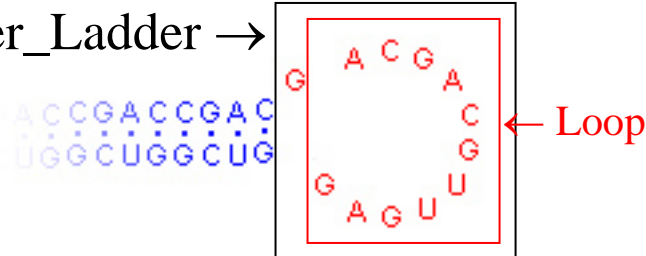
| c Bulge Ladder | Ladder c Bulge

| d Internal_Loop Ladder Internal_Loop d

| e Loop

Loop → e Loop | ε

After_Ladder →



Une grammaire pour la structure secondaire d'ARN

ARN → 3' Ladder 5'

Ladder → a After_Ladder b

After_Ladder → a After_Ladder b

| c Bulge Ladder | Ladder c Bulge

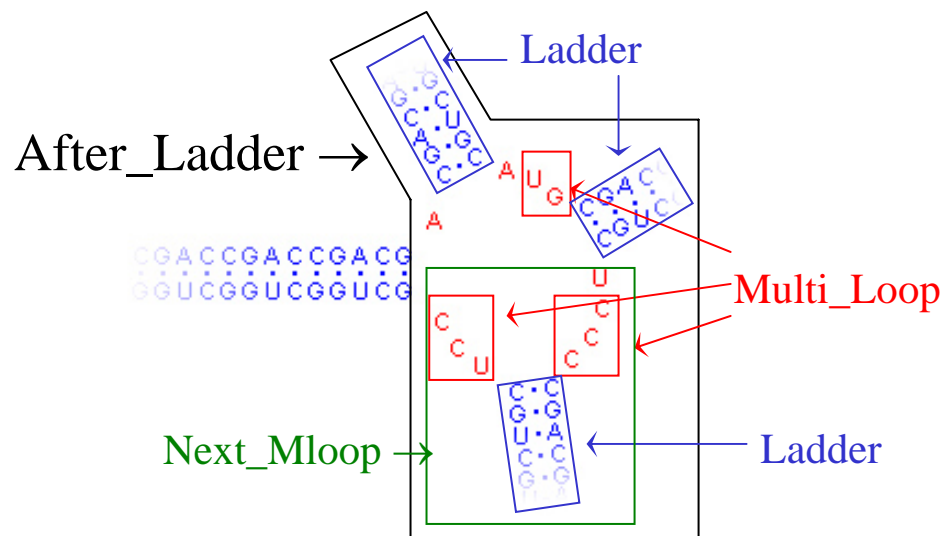
| d Internal_Loop Ladder Internal_Loop d

| e Loop

| f Multi_Loop Ladder f Multi_Loop Ladder Next_MLoop

Multi_Loop → f Multi_Loop | ε

Next_MLoop → Multi_Loop | f Multi_Loop Ladder Next_MLoop



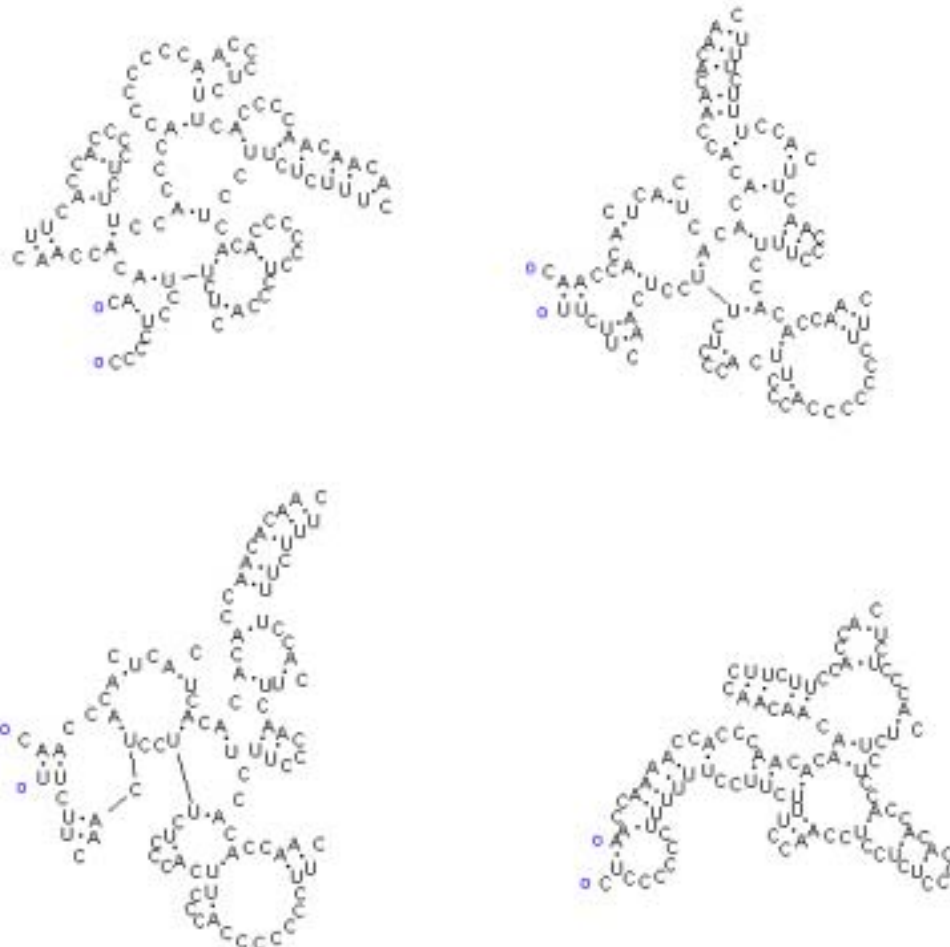
Génération équiprobable de structures secondaires

GenRGenS

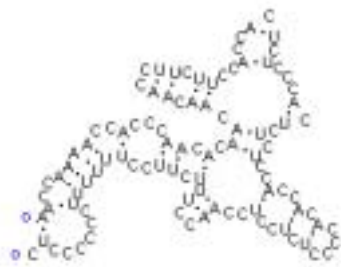
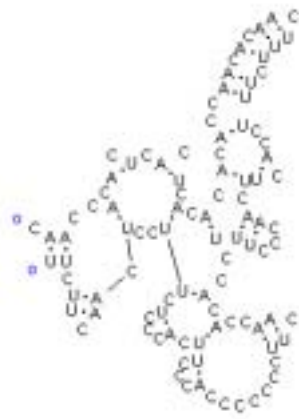
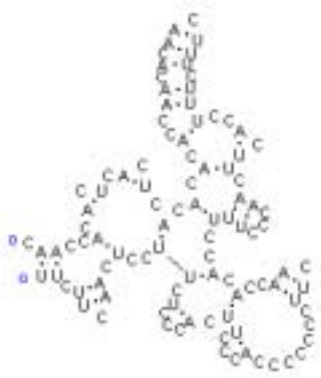


aacccaaaaccaddaadafafaadaaeebbdbbfaddaebdbfffaebfbcbffaddadaaaae
aacafffffaebfaaaafafaeebffffaafffaccaccadaaeebbdbbbfaebffadaebdbfffbfaebfb
cafaeefbacaafffacccaaaabbccbbfacacaeebbbcccbfffffaffafaaebffffaddaebdb
ccaafaacaebbcfacafafaaebcbfadacafadafafaaebfaaebbdbfafafaaebbb
caaffafafabfaebfafafafaccaadacaabbbdbbbffaebfaaeeebbbffafaffaaeb
aaafaaddaaaaafaddaaaaaccacafaddaaaaebbdubbffaebbbbcccbdbffaaeee
adafaacaeeeeebccbcbffadadafafffffffaaccaaabbccbbffacc
cafaebfffaaddaccfaaccaccaabccbbcccbfaebffffaeeeb
afacaccaabbbffaffaadaebddbccbfaffaaebfffaeeeb
afaebfaafacaeeebffffaebfaebffbccfaafffaeb
affafaaaeeebbfaffffaffaeebfaffacaffaacaeebb
afffaaeabcfffffaafafafabfaeefbfafaacc
+ RNAviz

Génération équiprobable de structures secondaires



Génération équiprobable de structures secondaires



- Structures trop complexes
- Trop de bases non appariées
- Trop de Bulges
- Bulges trop gros
- Boucles pas assez grosses

⇒ Pondération des terminaux

⇒ On constraint ainsi les fréquences des terminaux.

On ne peut pas contraindre les fréquences des Bulges, Loop, ... !!!

Introduction de marqueurs dans la grammaire

ARN → 3' Ladder 5'

Ladder → m_a After_Ladder m_b

After_Ladder → a After_Ladder b

| m_c Bulge Ladder | Ladder m_c Bulge
| m_d Internal_Loop Ladder Internal_Loop m_d
| m_e Loop
| m_f Multi_Loop Ladder m_f Multi_Loop Ladder Next_MLoop

Next_MLoop → Multi_Loop | m_f Multi_Loop Ladder Next_MLoop

3' → t_3 3' | ϵ

Internal_Loop → d Internal_Loop | ϵ

5' → t_5 5' | ϵ

Loop → e Loop | ϵ

Bulge → c Bulge | ϵ

Multi_Loop → f Multi_Loop | ϵ

Pondérations

m_a 0.5

m_b 0.5

m_c 0.5

m_e 0.5

m_d 0.2

m_f 0.5

a 1.3

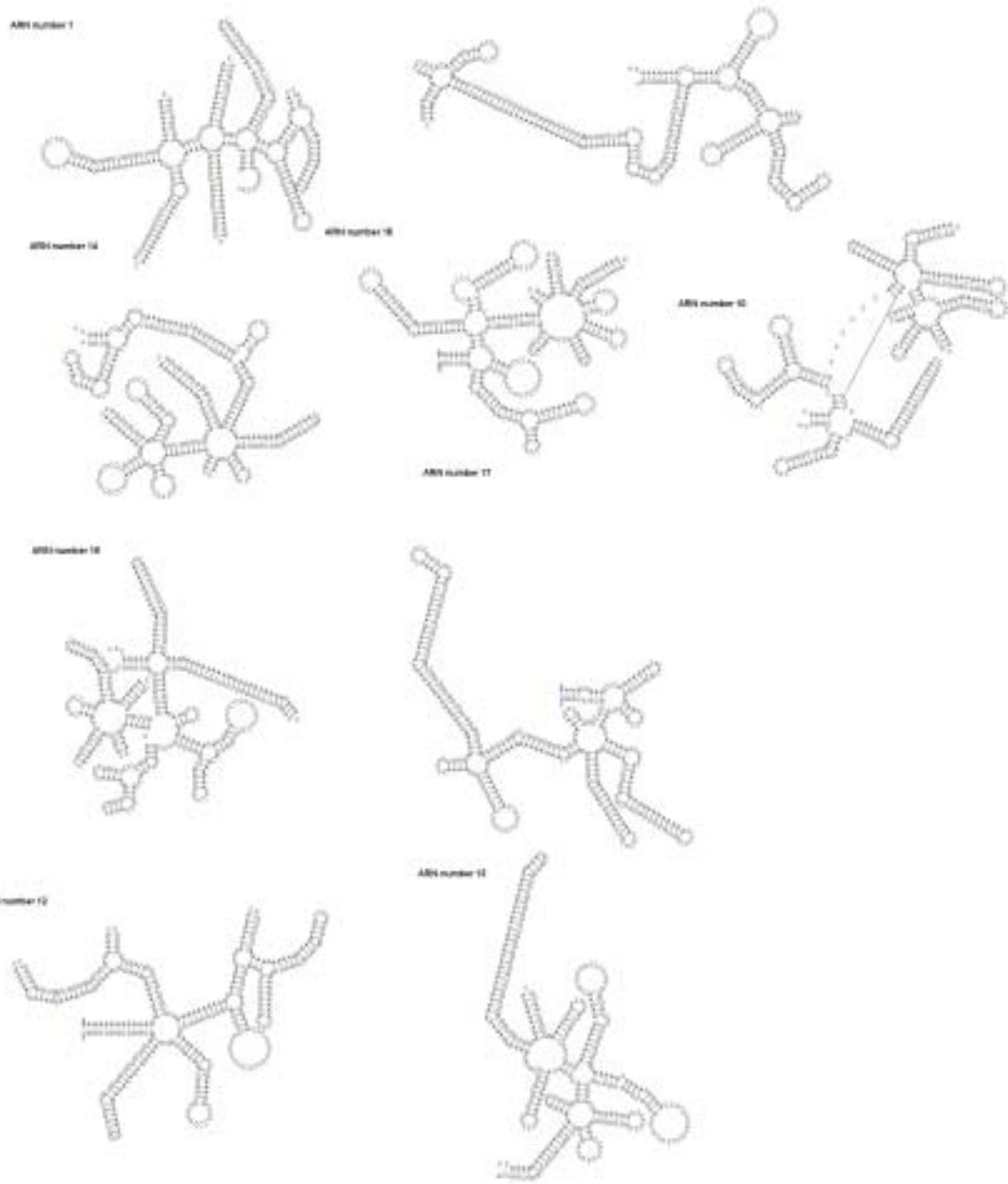
b 1.3

c 0.7

d 0.7

e 1.2

f 0.5



Pondérations

m_a	0.5
m_b	0.5
m_c	0.5
m_e	0.5
m_d	0.2
m_f	0.5
a	1.2
b	1.2
c	0.5
d	0.5
e	1.2
f	0.5

